

Techniques d'étude des réponses immunitaires

Techniques de phénotypage

Détection de marqueurs

Isolation de populations cellulaires

Analyse des répertoires

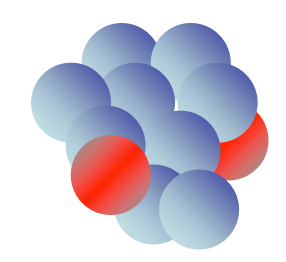
Analyse des voies de signalisation

Analyse prolifération / cycle cellulaire / Apoptose

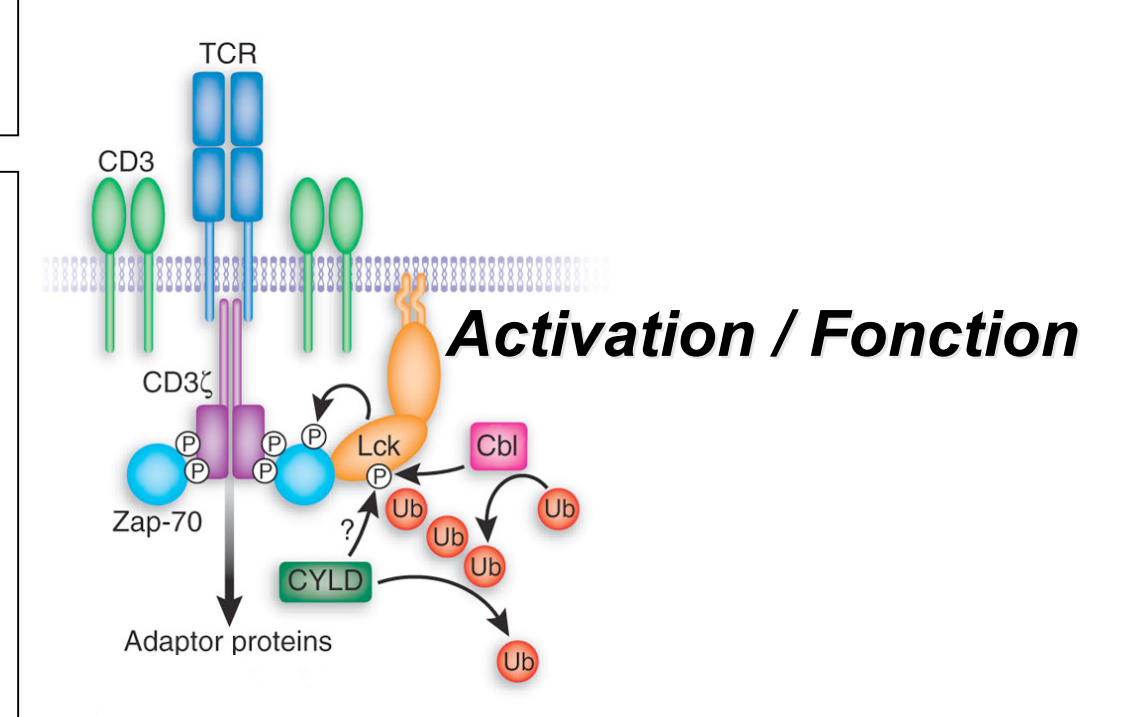
Production cytokines / facteurs solubles

Analyse des fonctions effectrices

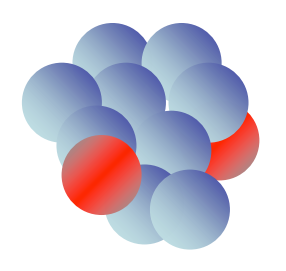
Utilisation de modèles de souris



Caractérisation / Identification



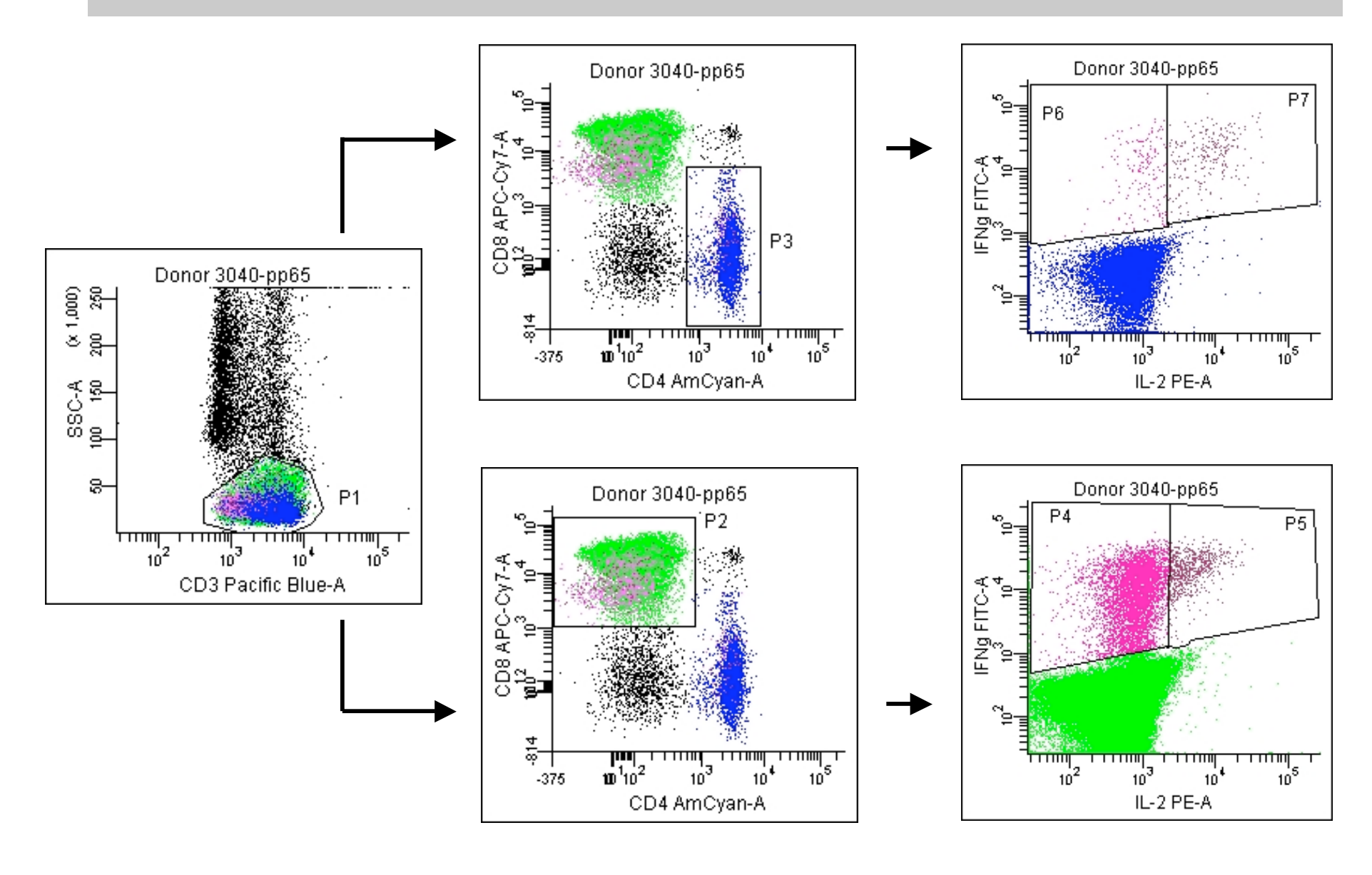




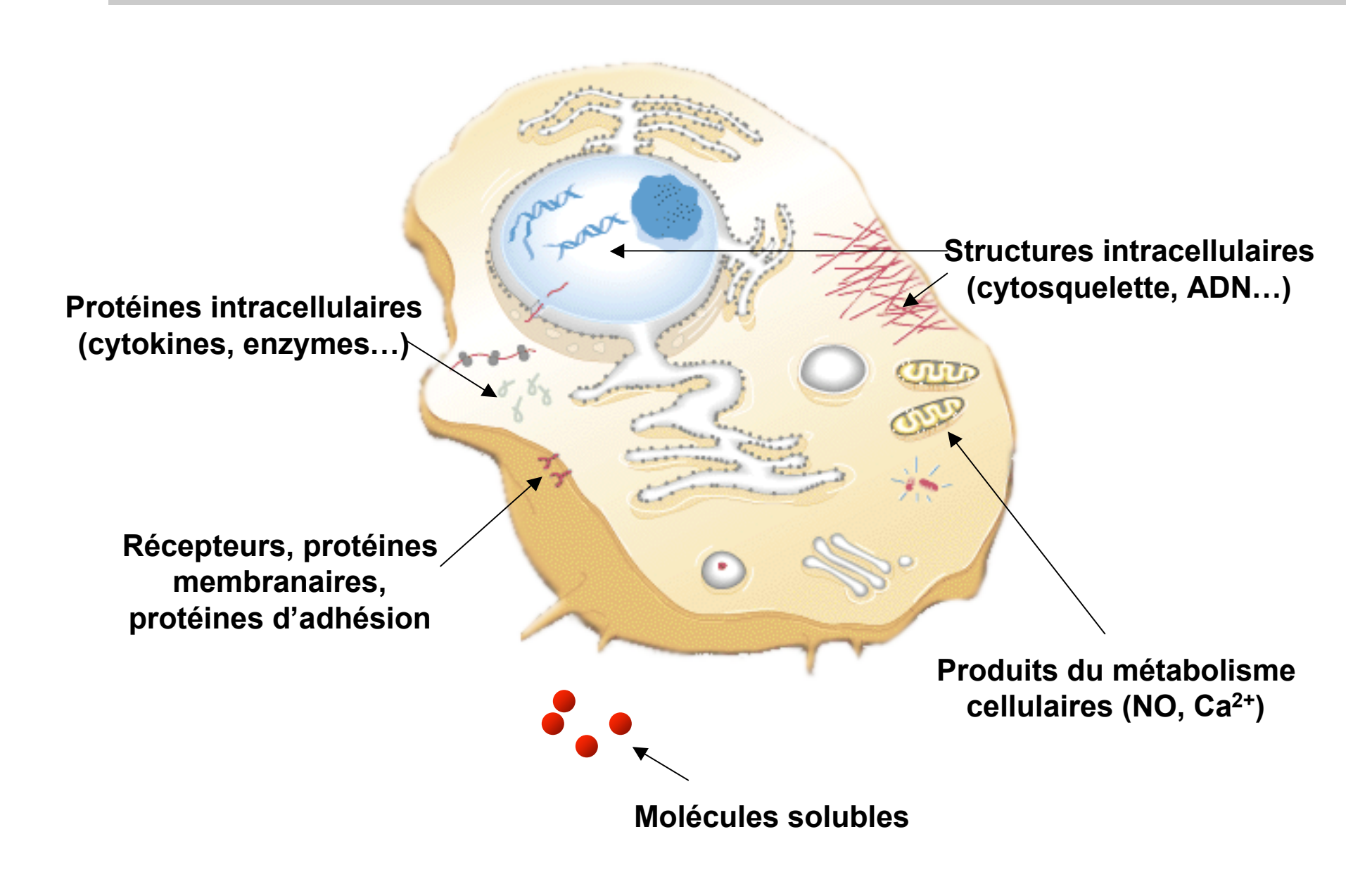
Caractérisation / Identification cellules et populations cellulaires

- Cytométrie en flux: marquages extracellulaires / intracellulaires
- > Tri magnétique ou par cytométrie en flux de populations cellulaires
- Immunohistochimie
- Microscopie à fluorescence
- Analyse des répertoires: immunoscope

Cytométrie en flux : marquages extracellulaires et intracellulaires

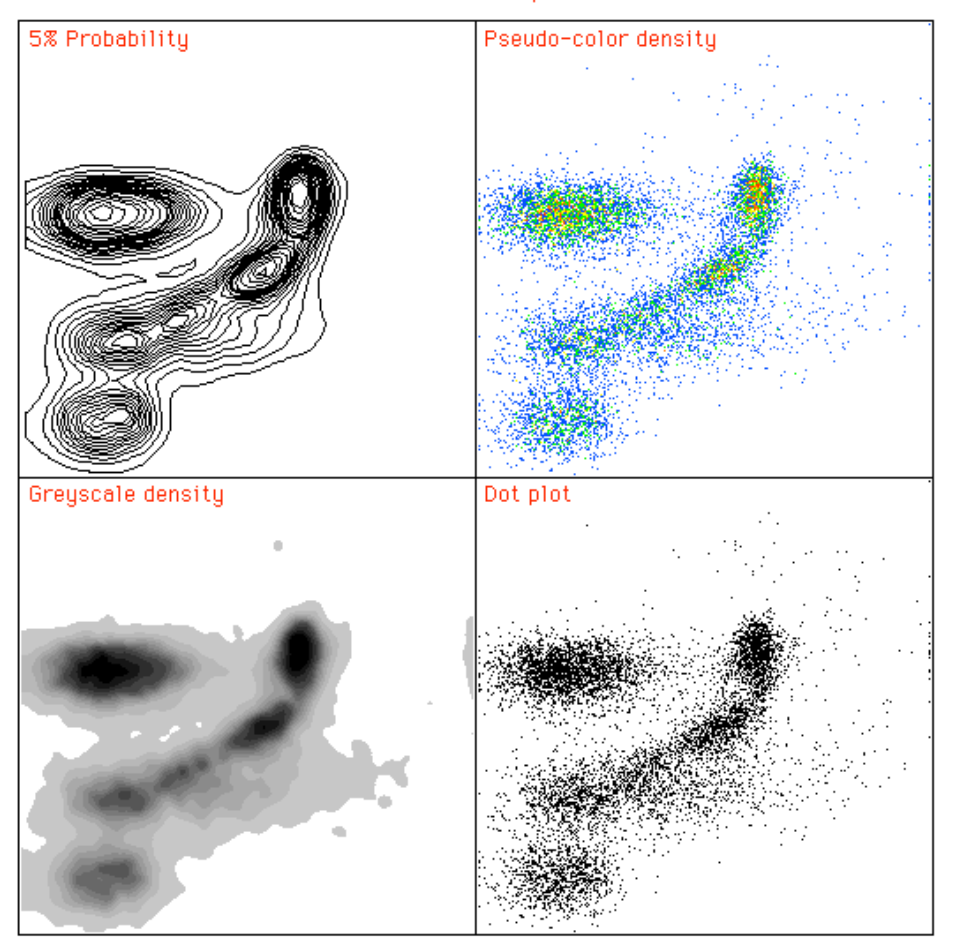


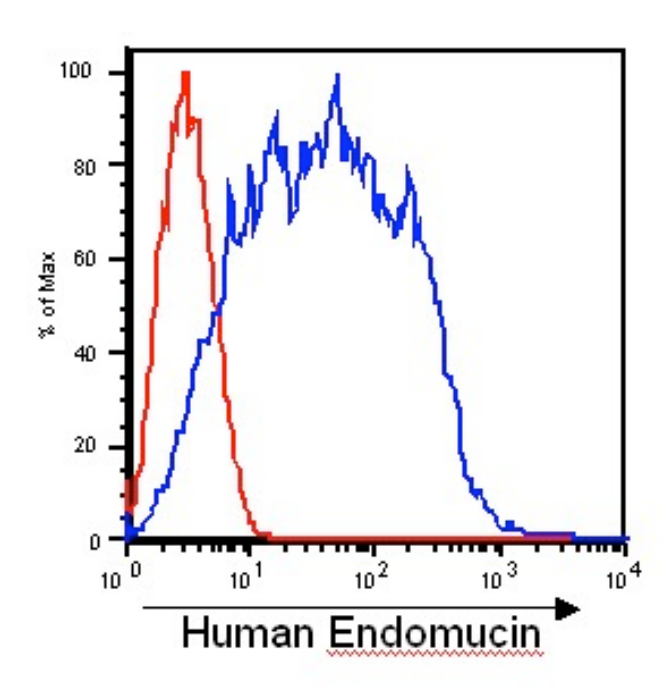
Cytométrie en flux : marquages extracellulaires et intracellulaires



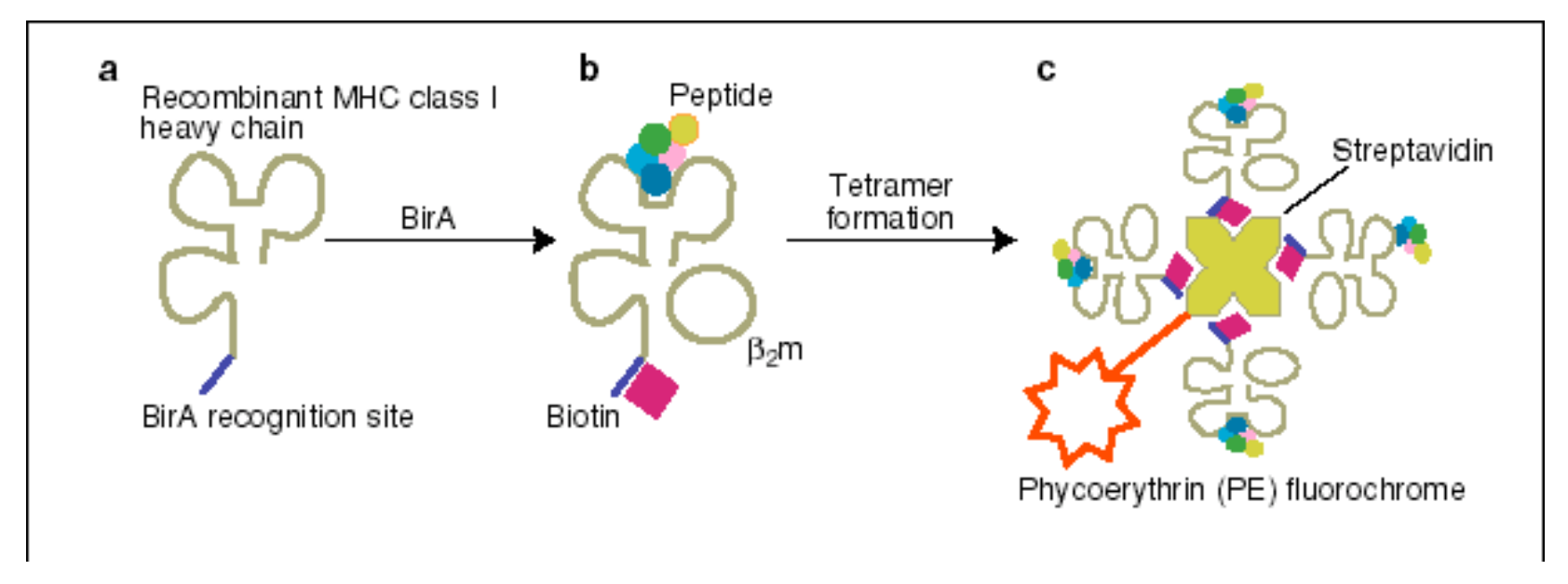
Cytométrie en flux : marquages extracellulaires et intracellulaires

Standard Plot Options



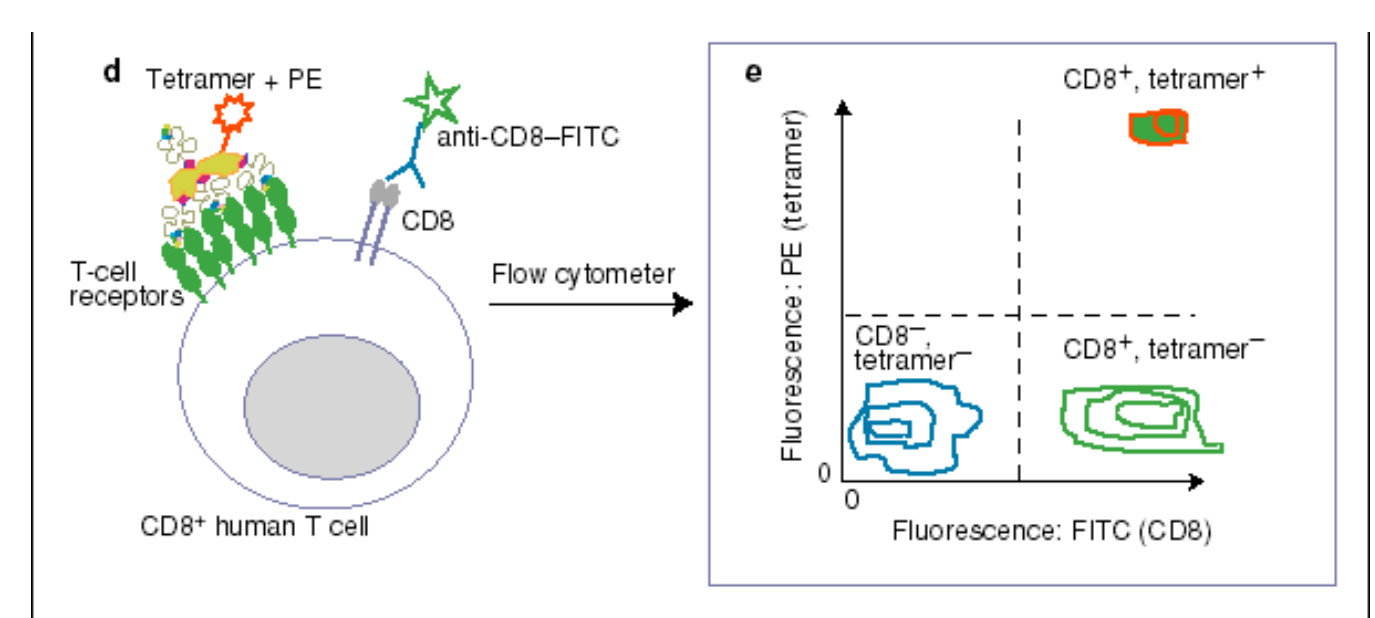


Cytométrie en flux : technique des tétramères



- Version soluble de la chaîne lourde du CMH I synthétisée dans E.Coli
- Addition de la chaîne légère β2 microglobuline et du peptide synthétique → conformation appropriée
- Couplage avec la biotine par l'enzyme BirA (reconnaît un site spécifique introduit dans la partie C-term de la chaîne lourde)
- 4 complexes CMHI/biotine sont liés à la streptavidine
- La streptavidine est taggée à un fuorochrome

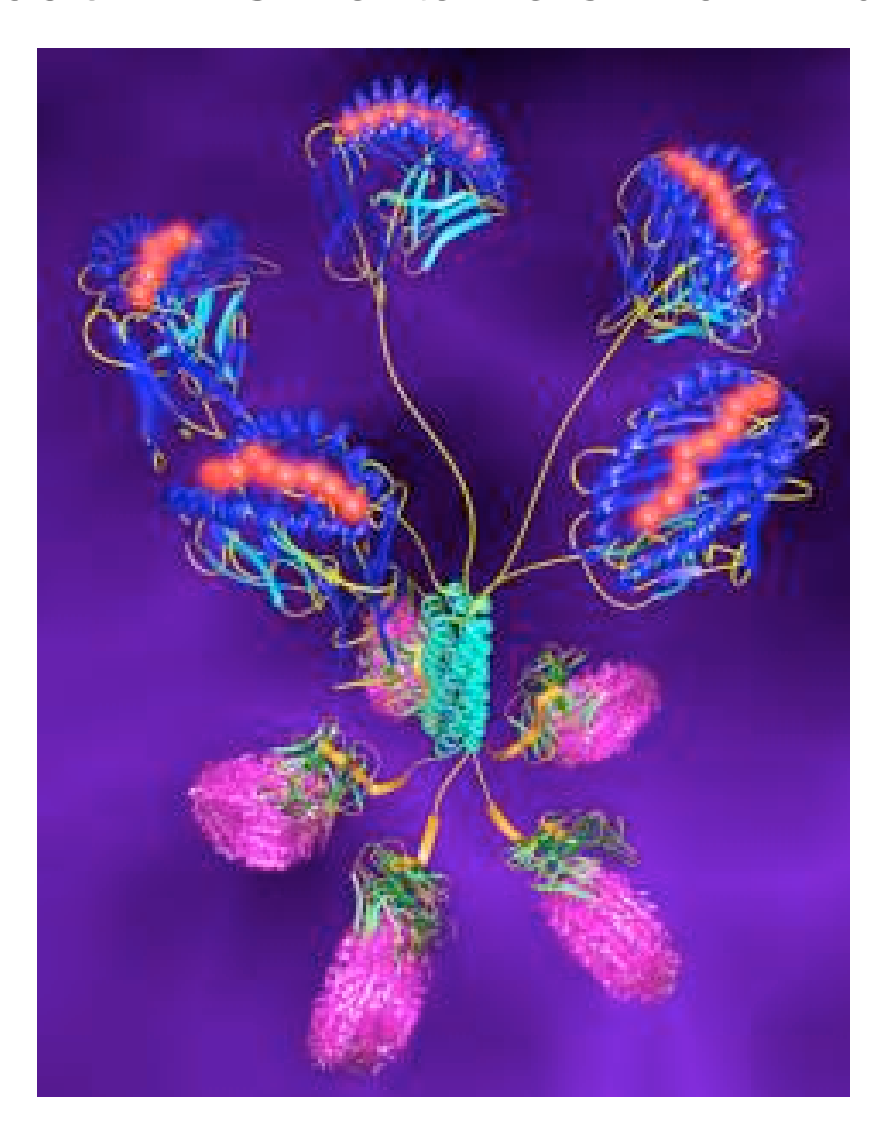
Cytométrie en flux : technique des tétramères



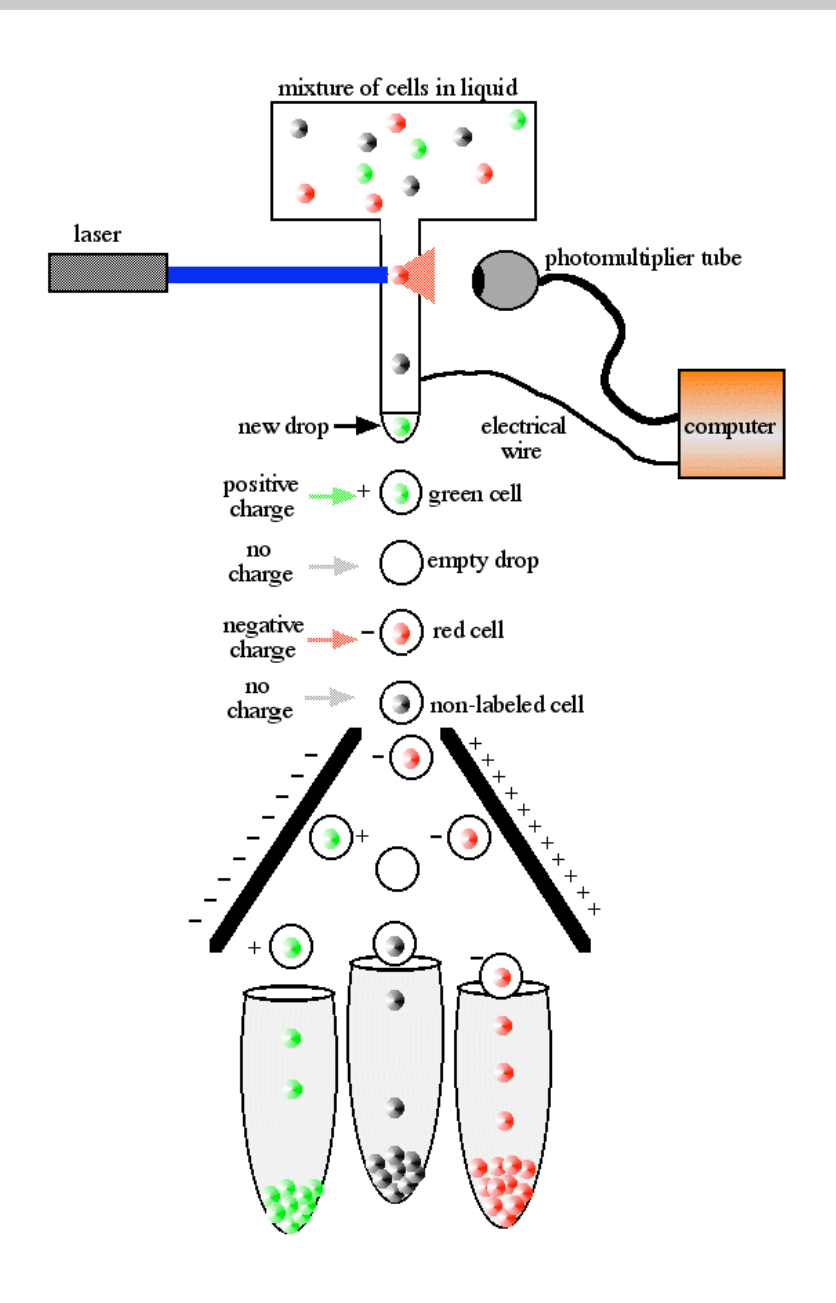
Tetramer analysis to detect T lymphocytes (T cells) that have specific T-cell receptors on their cell surface

Expert Reviews in Molecular Medicine

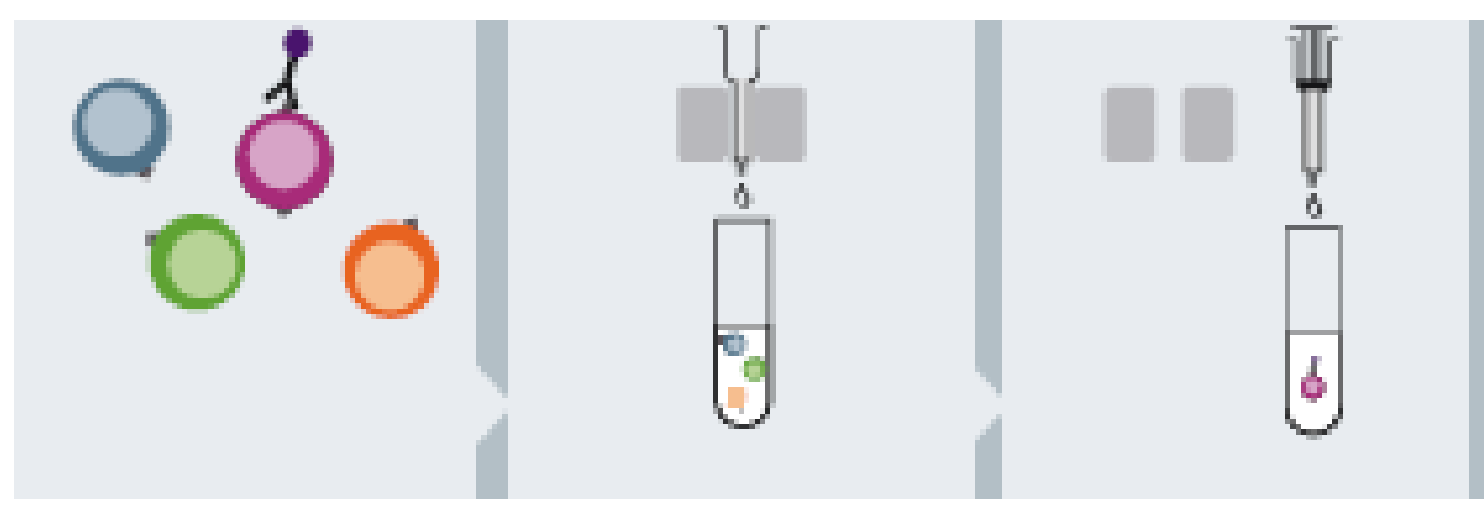
Pro5® MHC Pentamers ProImmune



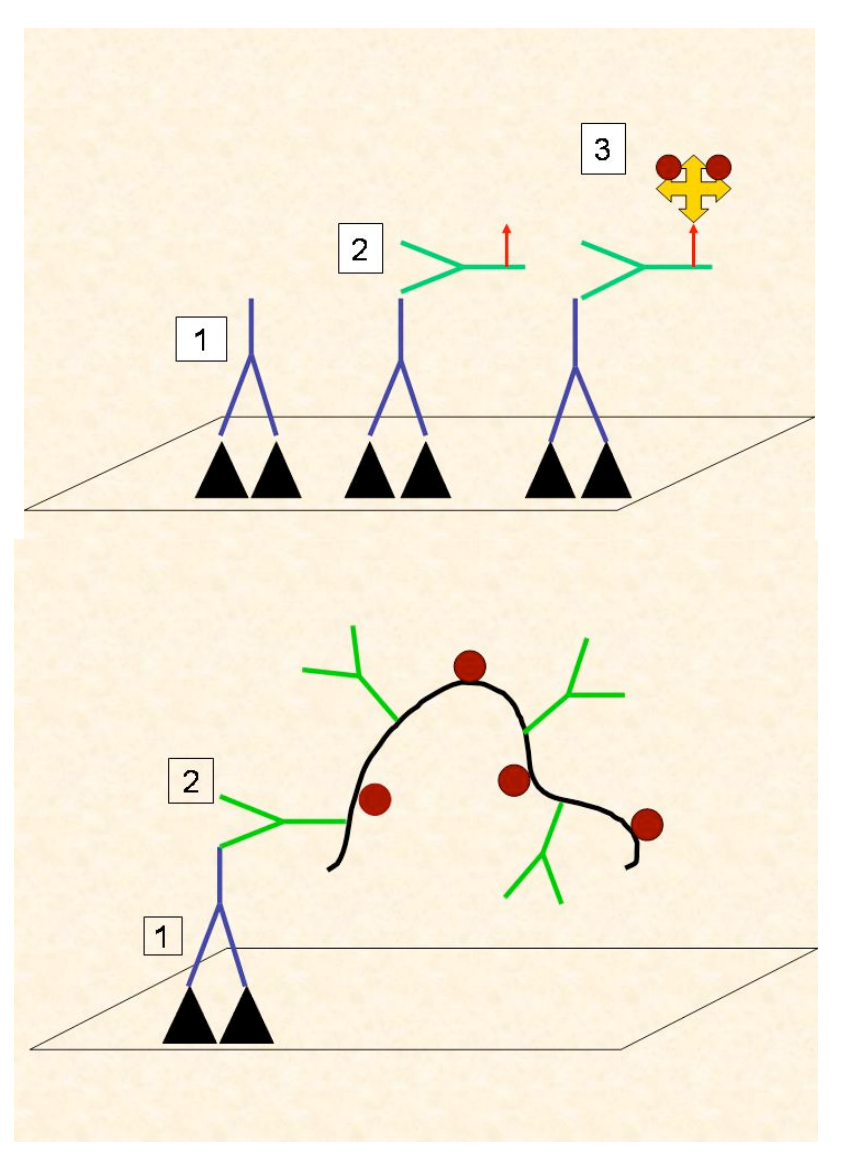
Cytométrie en flux : Tri cellulaire



Tri cellulaire par tri magnétique



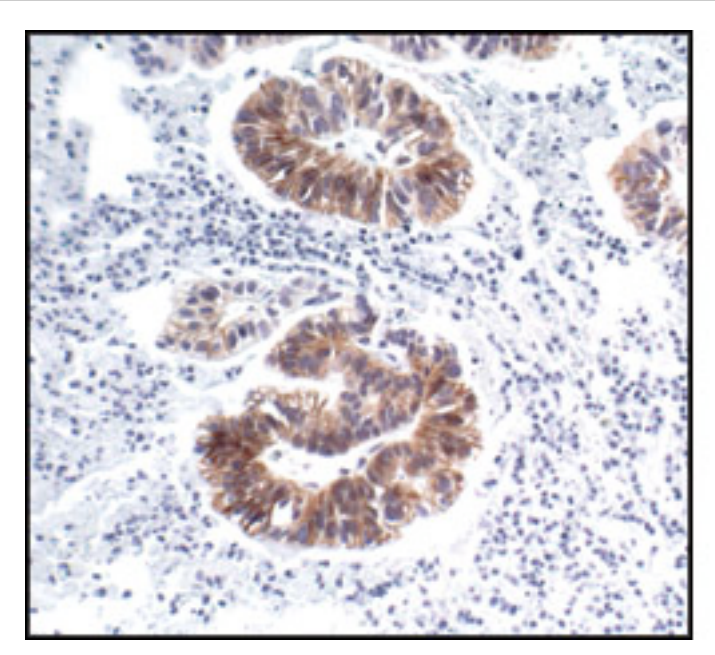


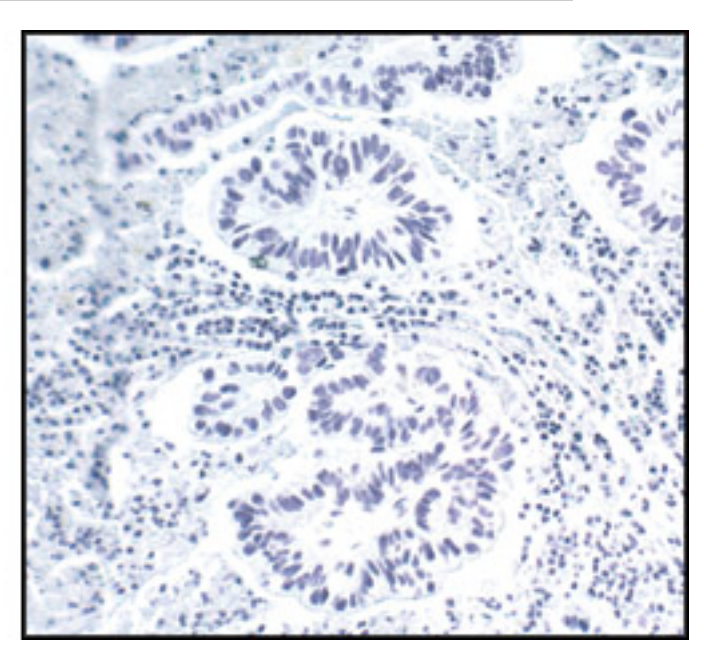


Méthodes de conservation: avantages et inconvénients

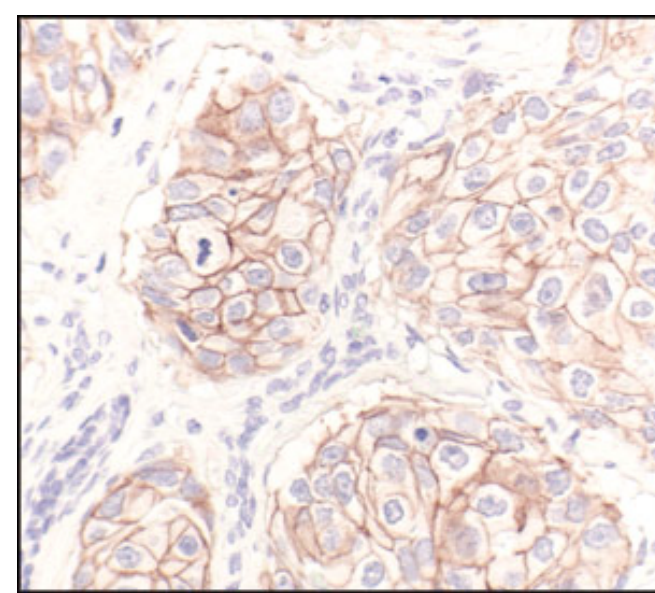
	état du tissu	morphologie	système de stockage	antigènes	traitement du spécimen
paraffine	fixation du tissu dans un agent fixateur	très bien conservée	à température pièce donc aucun équipement spécial	certains sont détruits et la majorité demande un démasquage	à température ambiante
Résine OCT	nécessite un tissu frais	moins bien conservée	à -80°C donc demande un équipement spécial	aucune destruction des antigènes	à -20°C (cryostat)

Adenocarcinome rénal





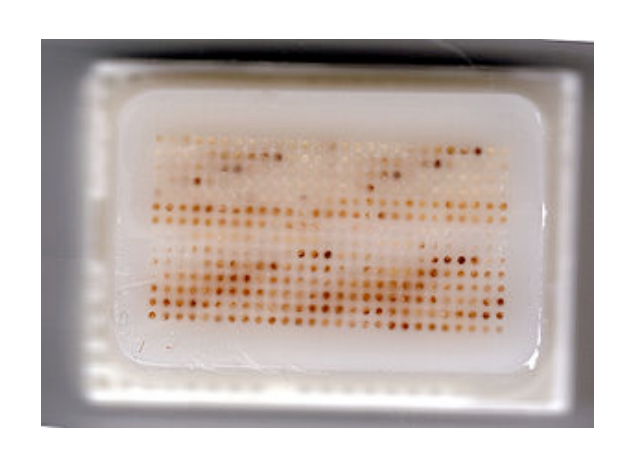
Carcinome sein (anti-Her2/ErbB2)

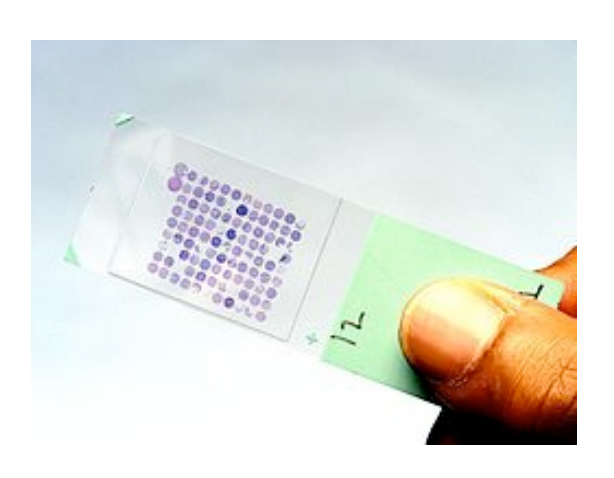


Immunohistochimie à « haut débit » : les Tissue Micro Array

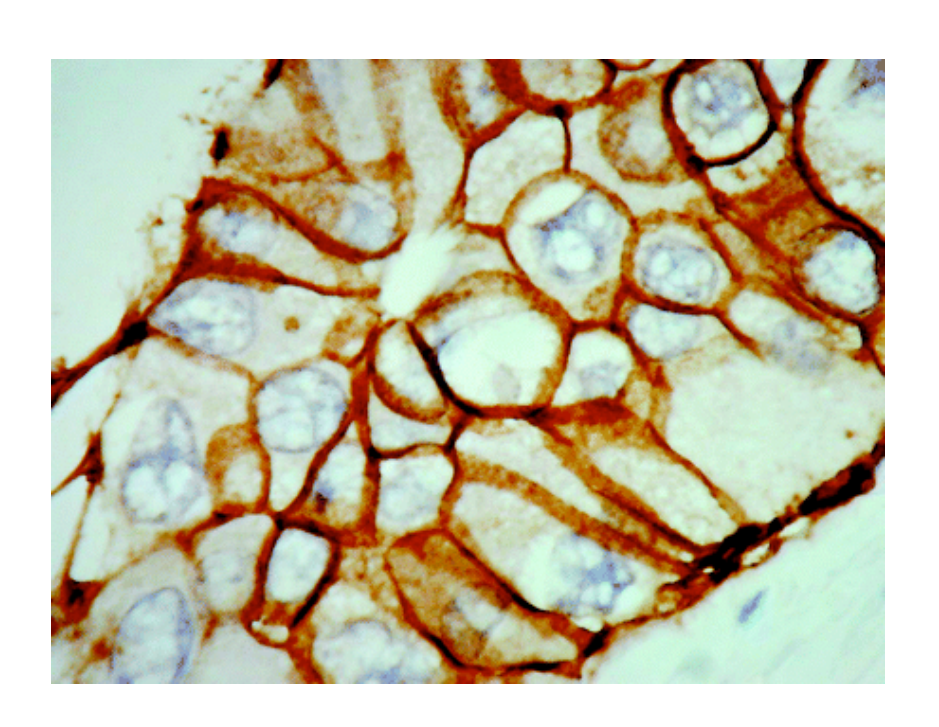
Fragments de tissus d'environ 0,6 mm de diamètre obtenus de régions d'intérêt de tissus inclus en paraffine (biopsies, échantillons de tumeurs)

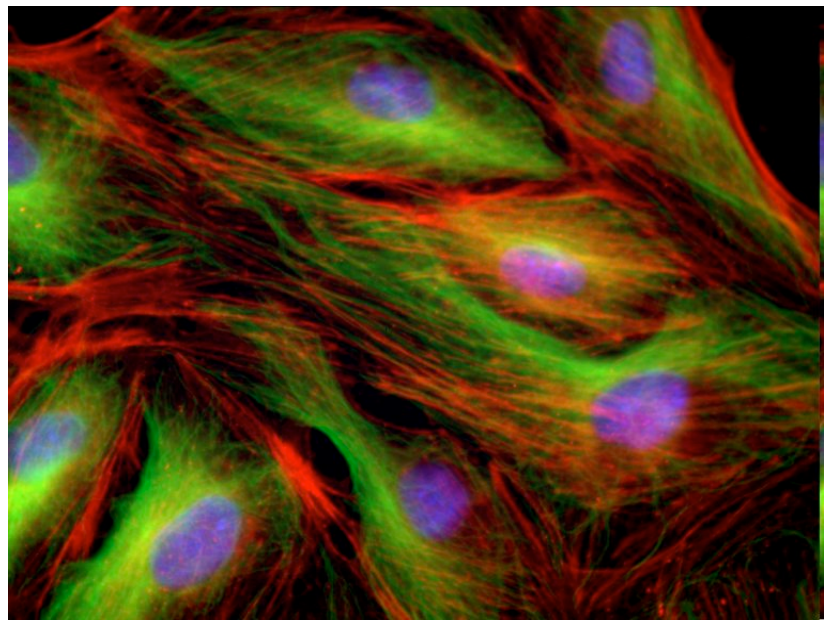
- Ces fragments sont insérés et espacés de façon précise dans un bloc de paraffine selon un pattern de spots particulier
- Des sections de ce bloc sont coupées grâce à un microtome puis montées sur lame pour analyse



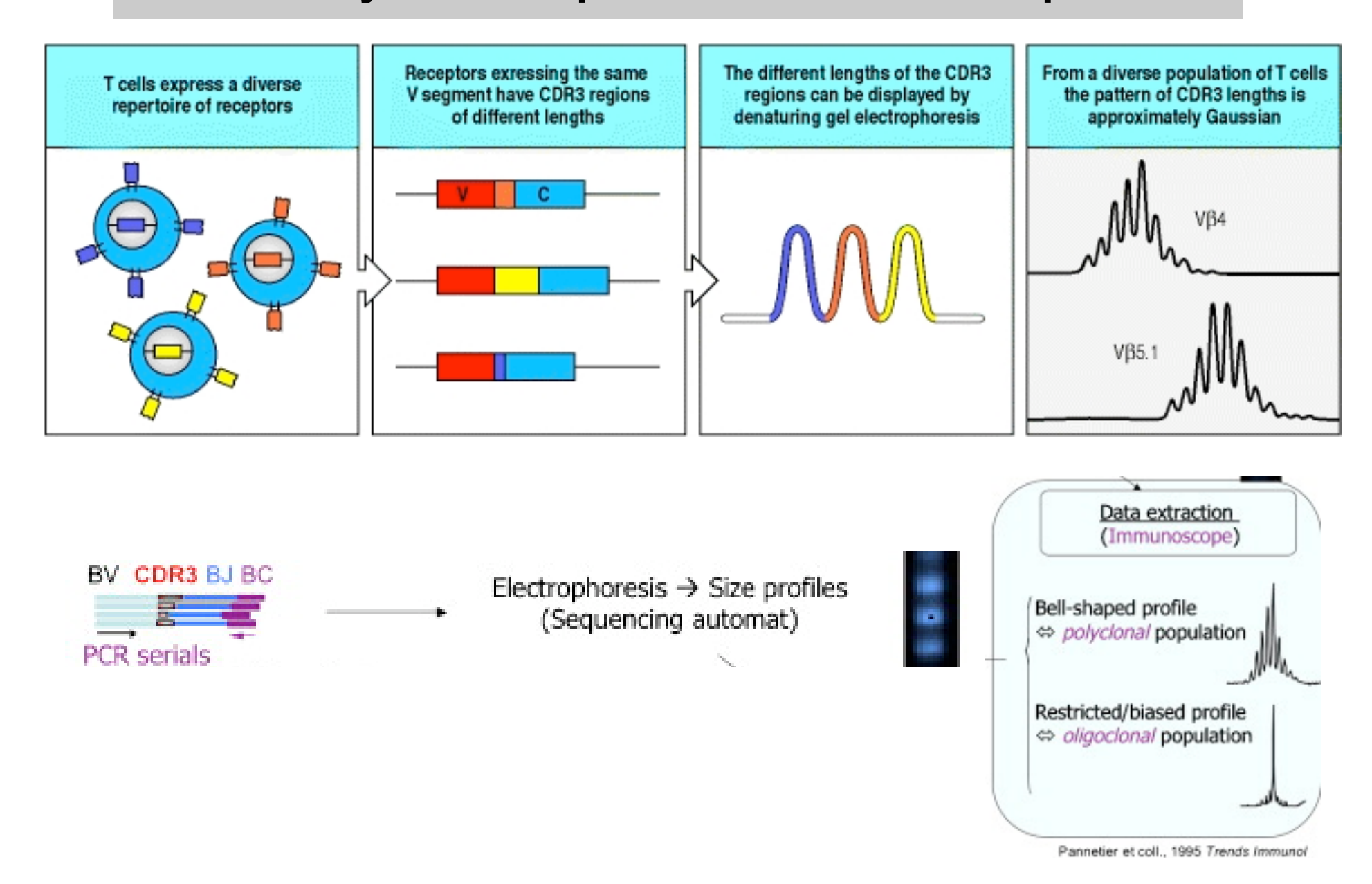


Immunohistochimie et immunofluorescence





Analyse des répertoires: Immunoscope



Analyse des voies de signalisation

- > Cytométrie / Imagerie
- ➤ Electrophorèse/ Western blot (immunoprécipitations)
- > Génomique / Protéomique

Activation / Fonction

Production de cytokines

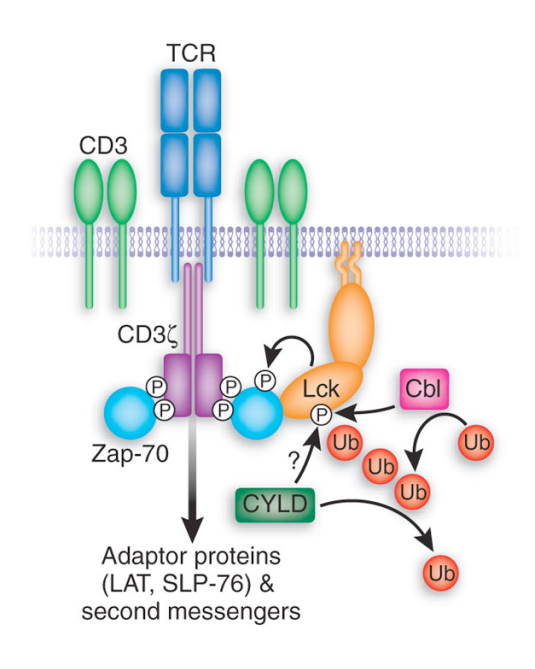
- > Détection de cytokines grâce à l'analyse de la prolifération cellulaire
- > ELISA / RIA
- > ELISPOT
- > Facs intracellulaire

Prolifération/Division cellulaire/Apoptose

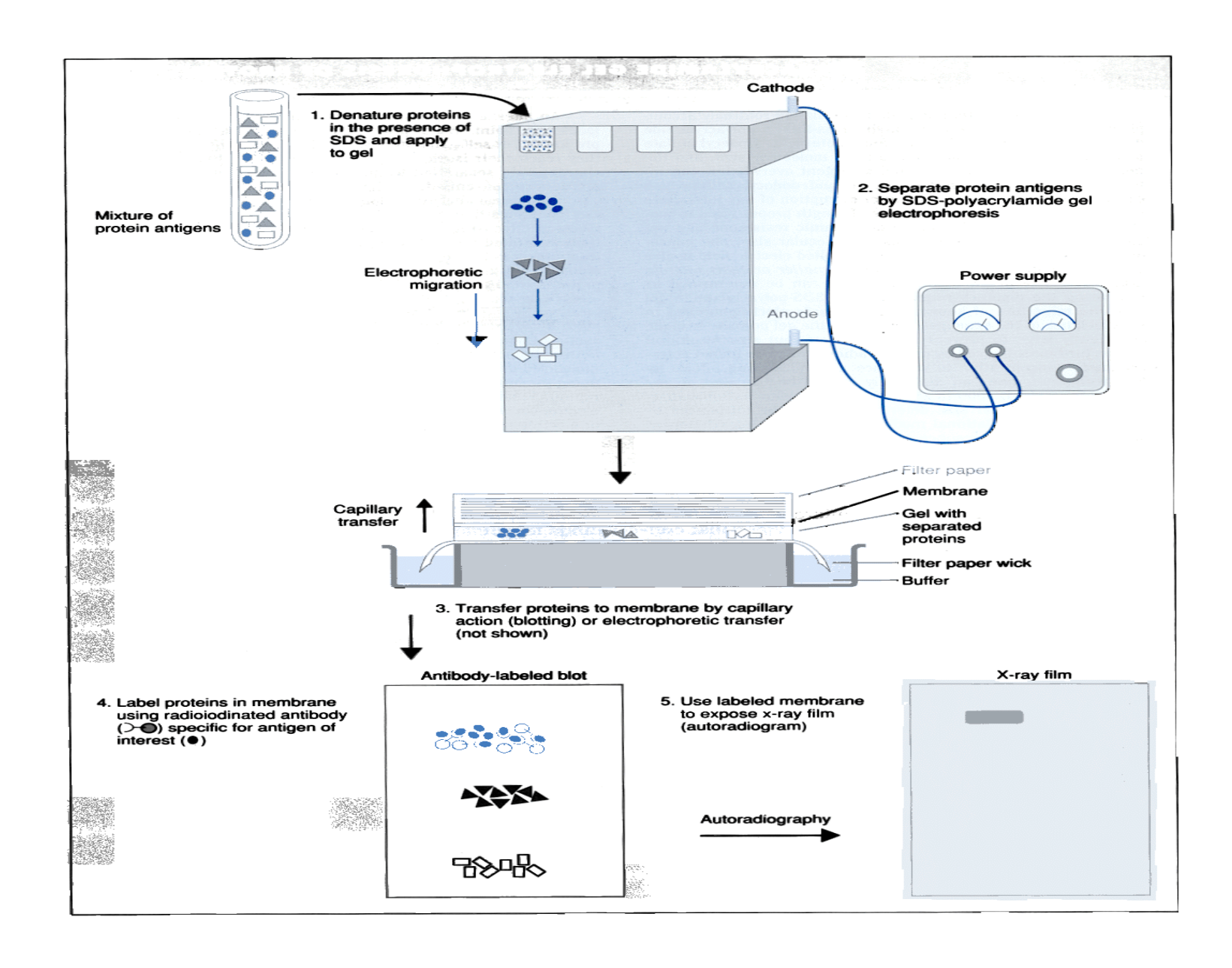
- Cytométrie de flux : BrdU, EdU, CFSE, Annexin V
- > Imagerie : DAPI
- > Thymidine tritiée

Fonctions effectrices

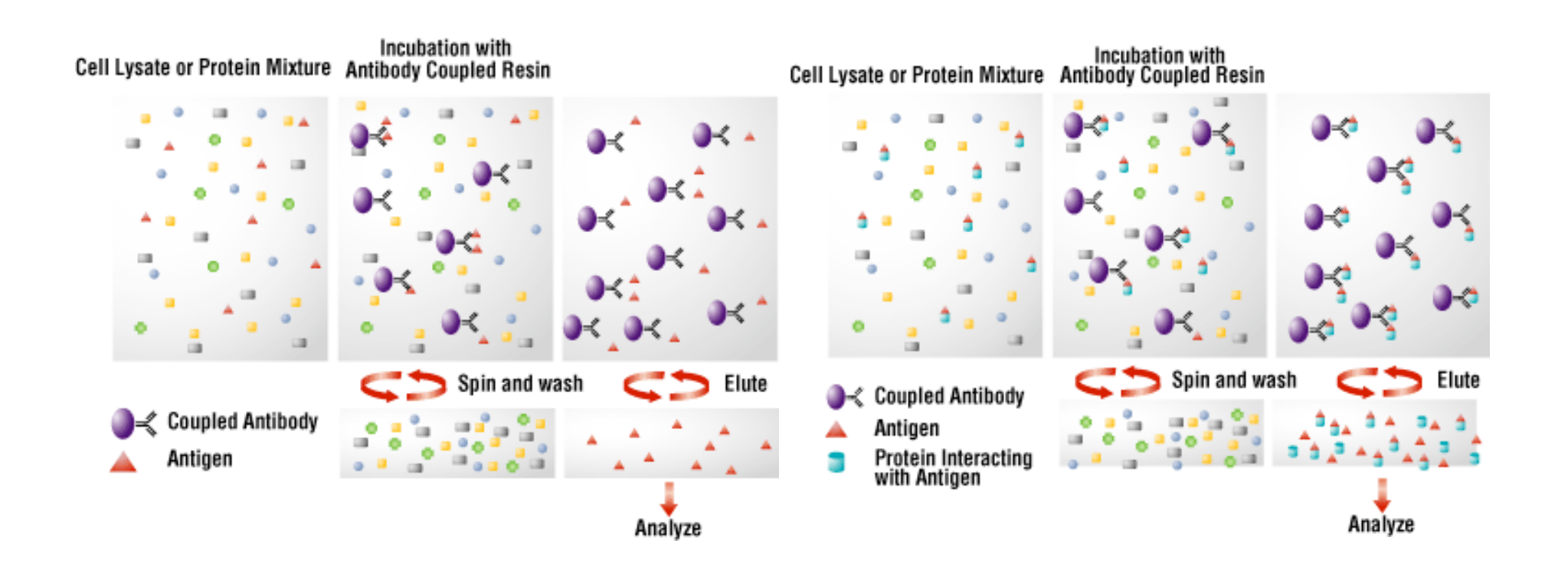
- > Cytotoxicité: 51Cr, FACS, LDH
- > Réponse anticorps: ELISPOT B, ELISA immunoglobulines sériques, tests hémaglutination

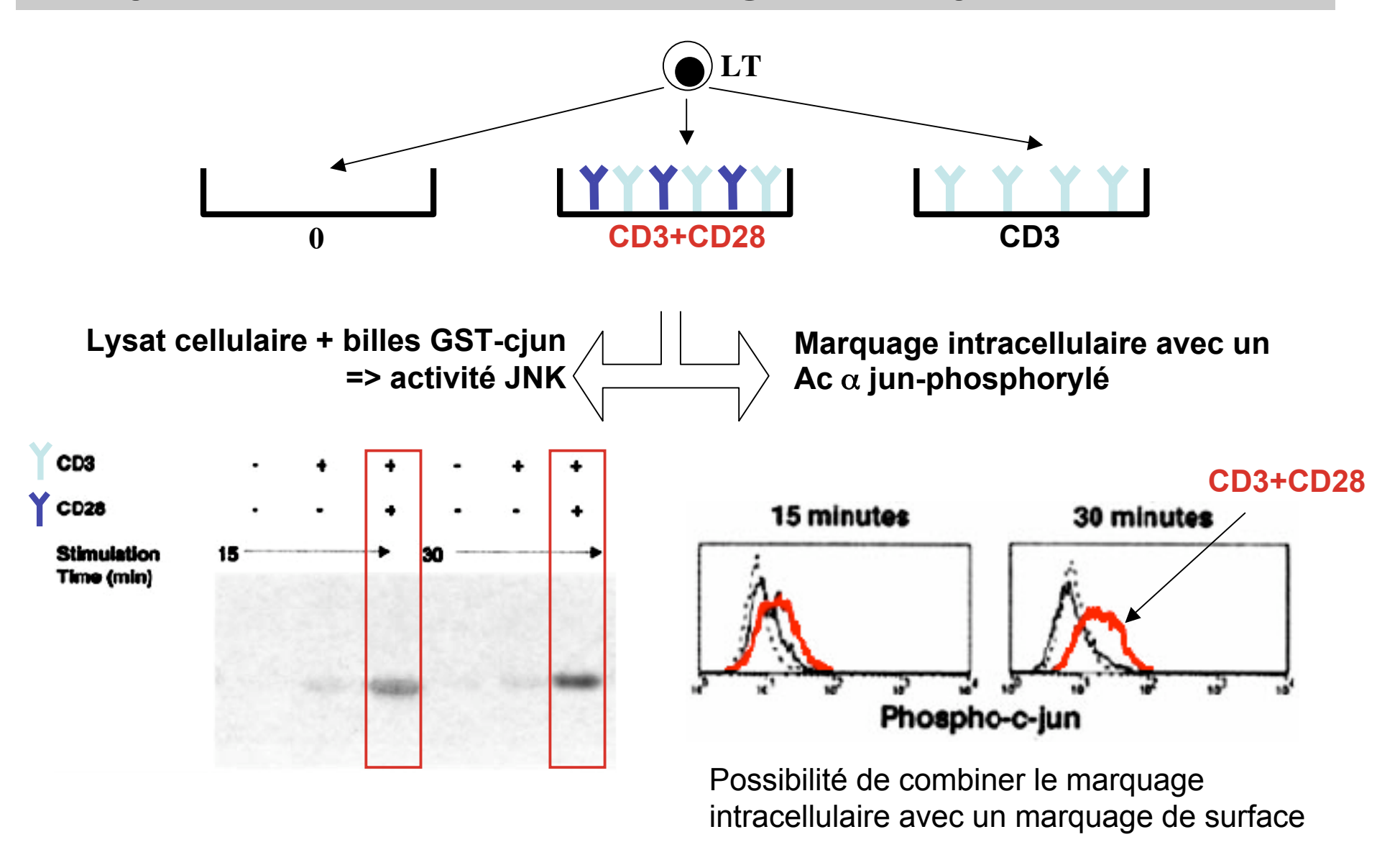


Le Western Blot



L'immunoprécipitation

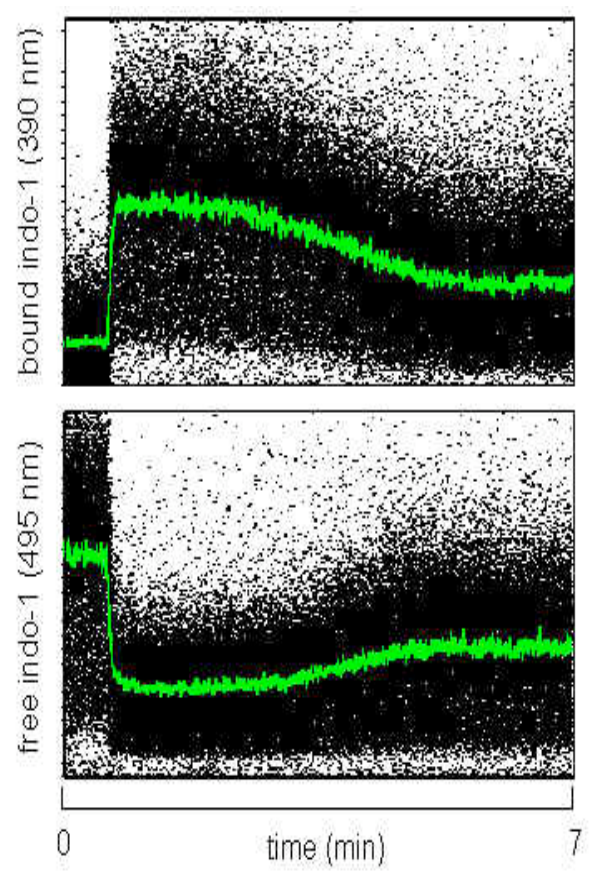


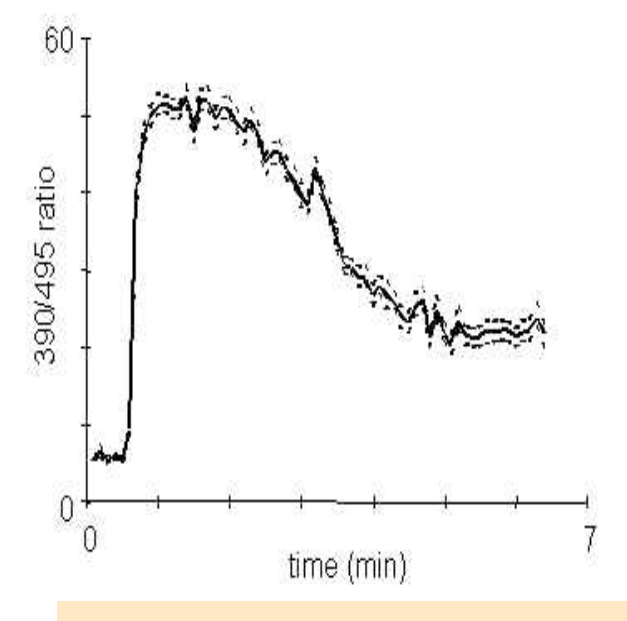


Variation du Ca²⁺ intracellulaire

- Mesure du Flux calcique : Sonde Fluo-3
- Mesure quantitative du Calcium : Sondes excitables dans l'UV
 - Indo-1 : modification du spectre d'émission
 - Fluorochrome libre : émission 475 nm
 - Fluorochrome lié: émission 400 nm
 - Mesure du ratio sonde liée / sonde libre

Variation du Ca²⁺ intracellulaire

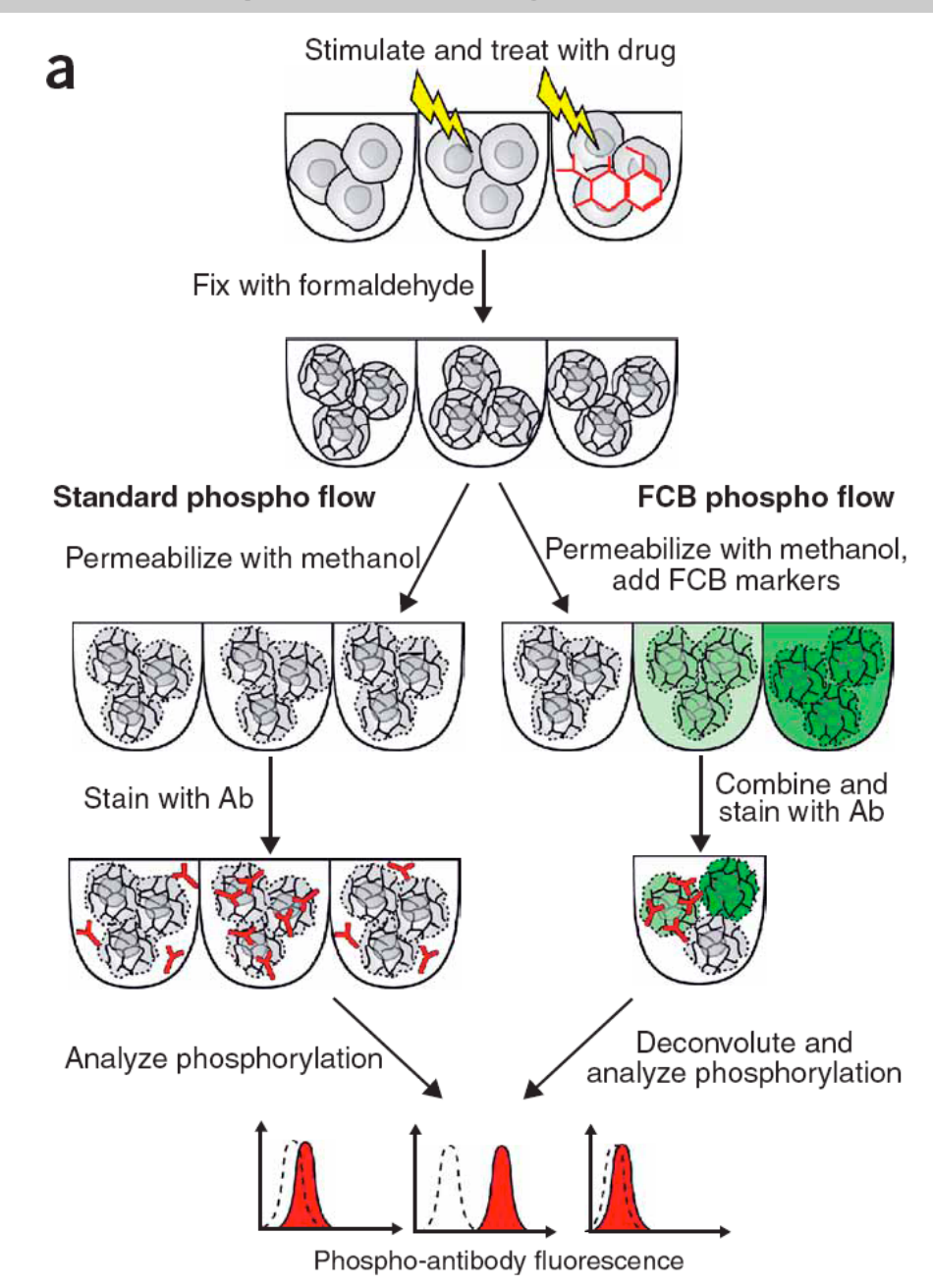


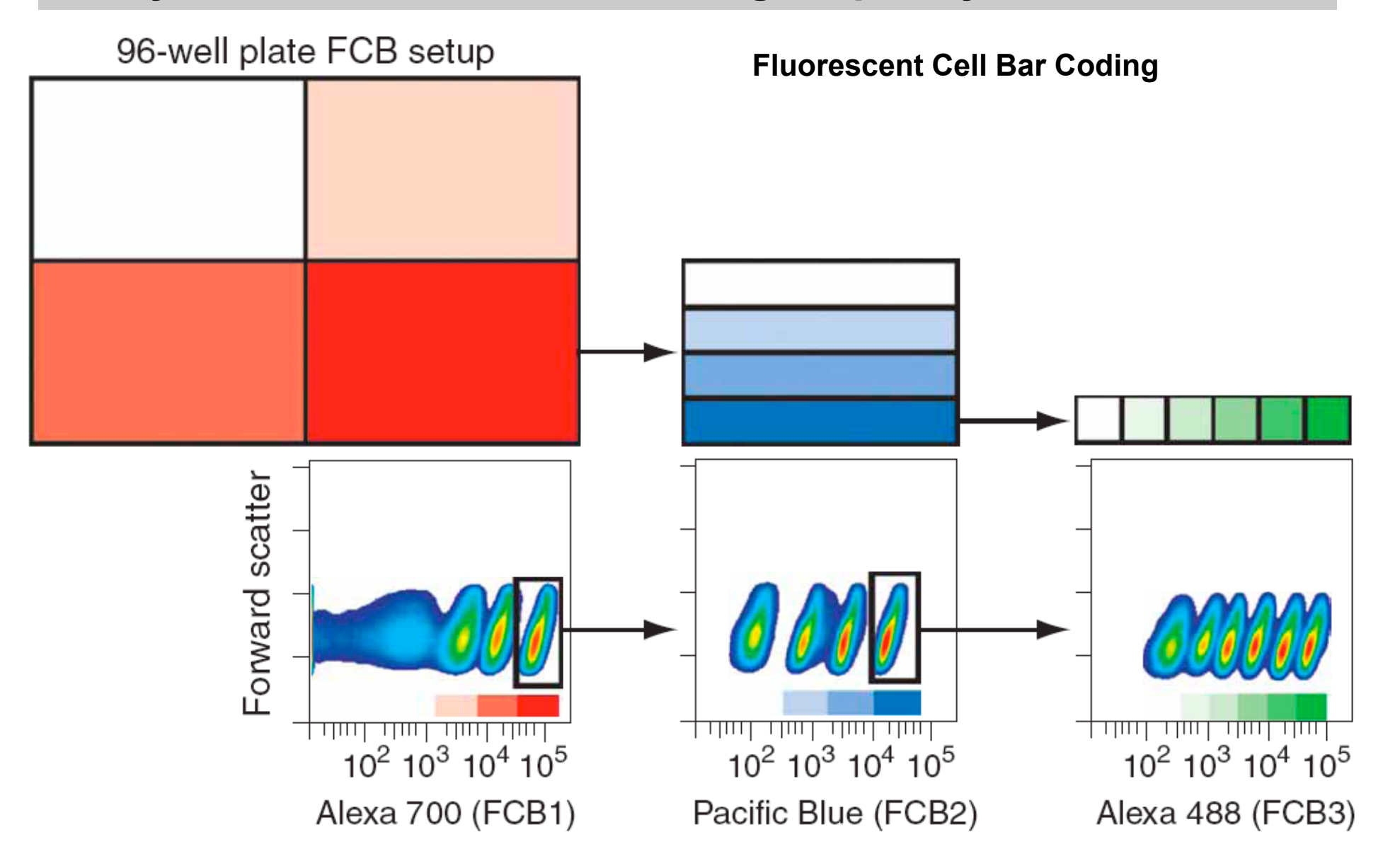


Ratio of Ca++:
Bound Indo-1 at 390 nm
Free Indo-1 at 495 nm

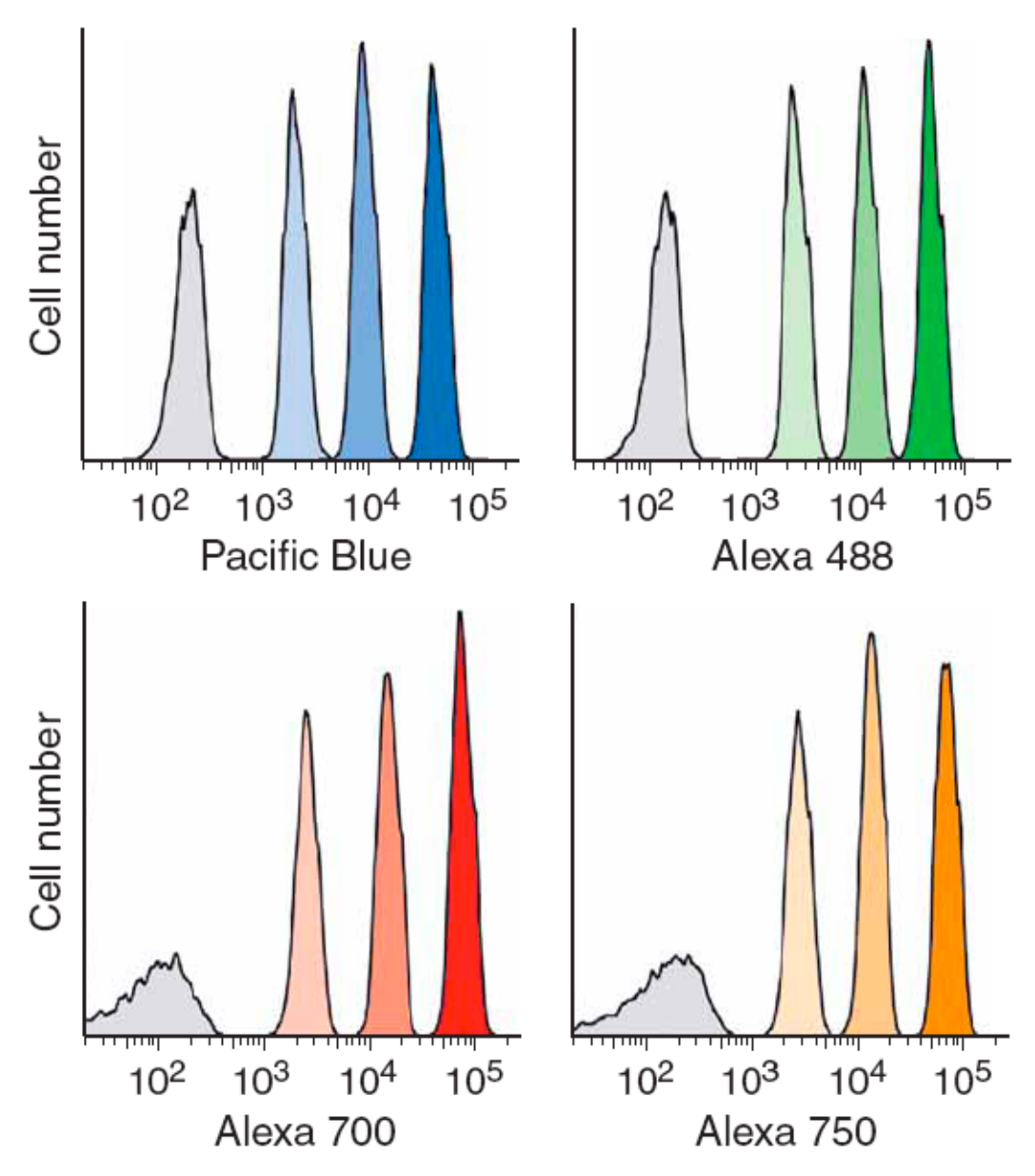
Molecule-probe	Excitation	Emission
Calcium - Indo-1	351 nm	405,>460 nm
Calcium- Fluo-3	488 nm	525 nm
Calcium - Fura-2	363 nm	>500 nm
Calcium - Calcium Green	488 nm	515 nm
Magnesium - Mag-Indo-1	351 nm	405,>460 nm
Phospholipase A- Acyl Pyrene	351 nm	405,>460 nm

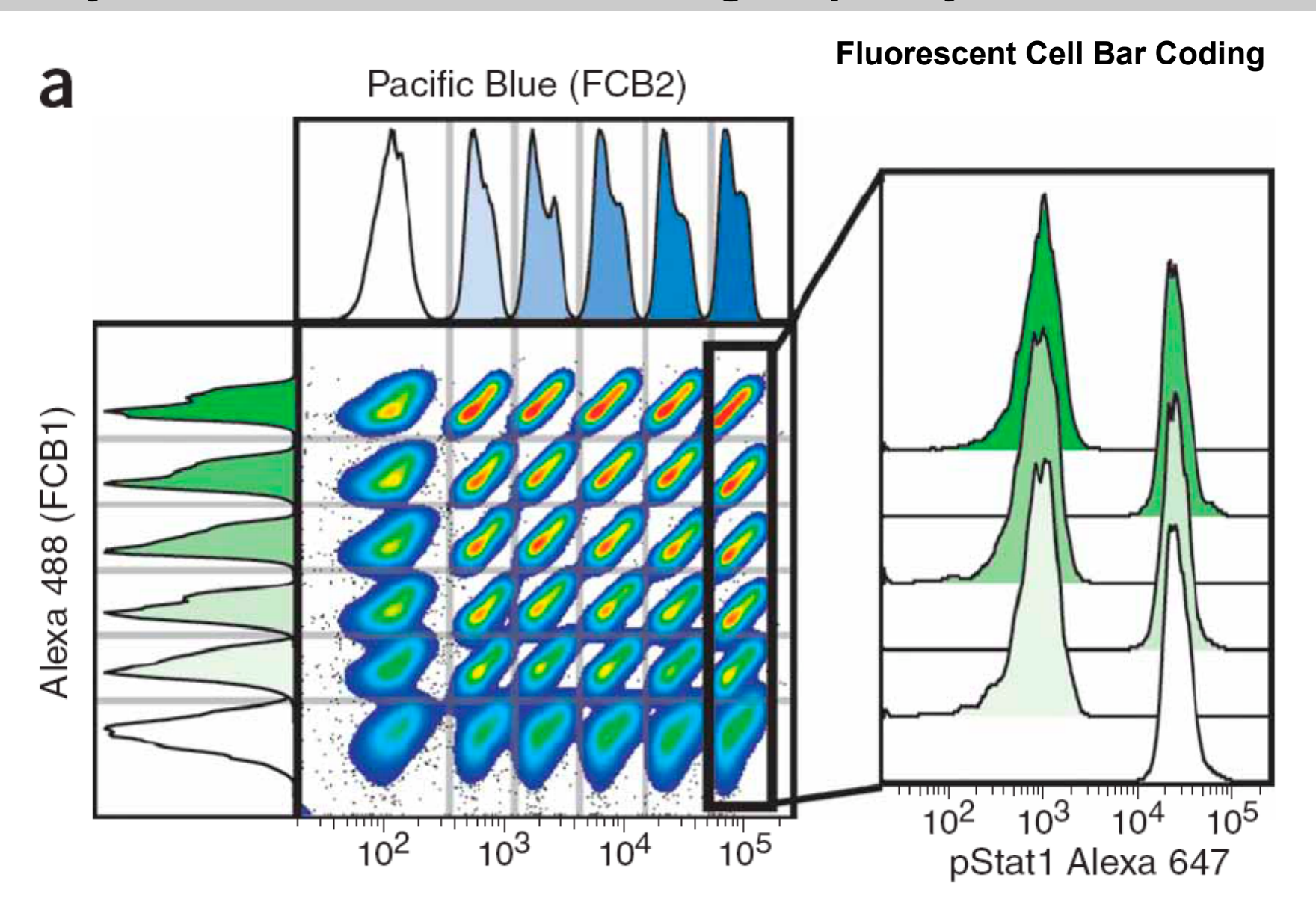
Fluorescent Cell Bar Coding



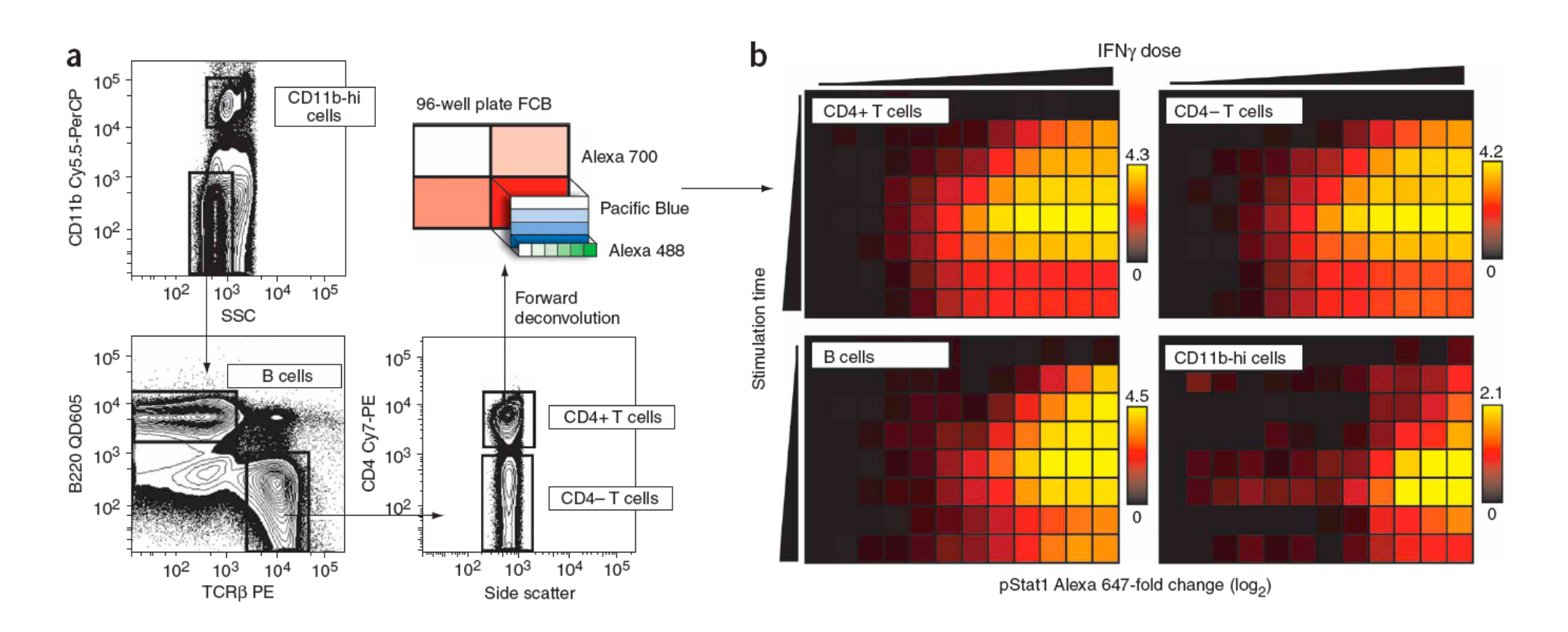


Fluorescent Cell Bar Coding



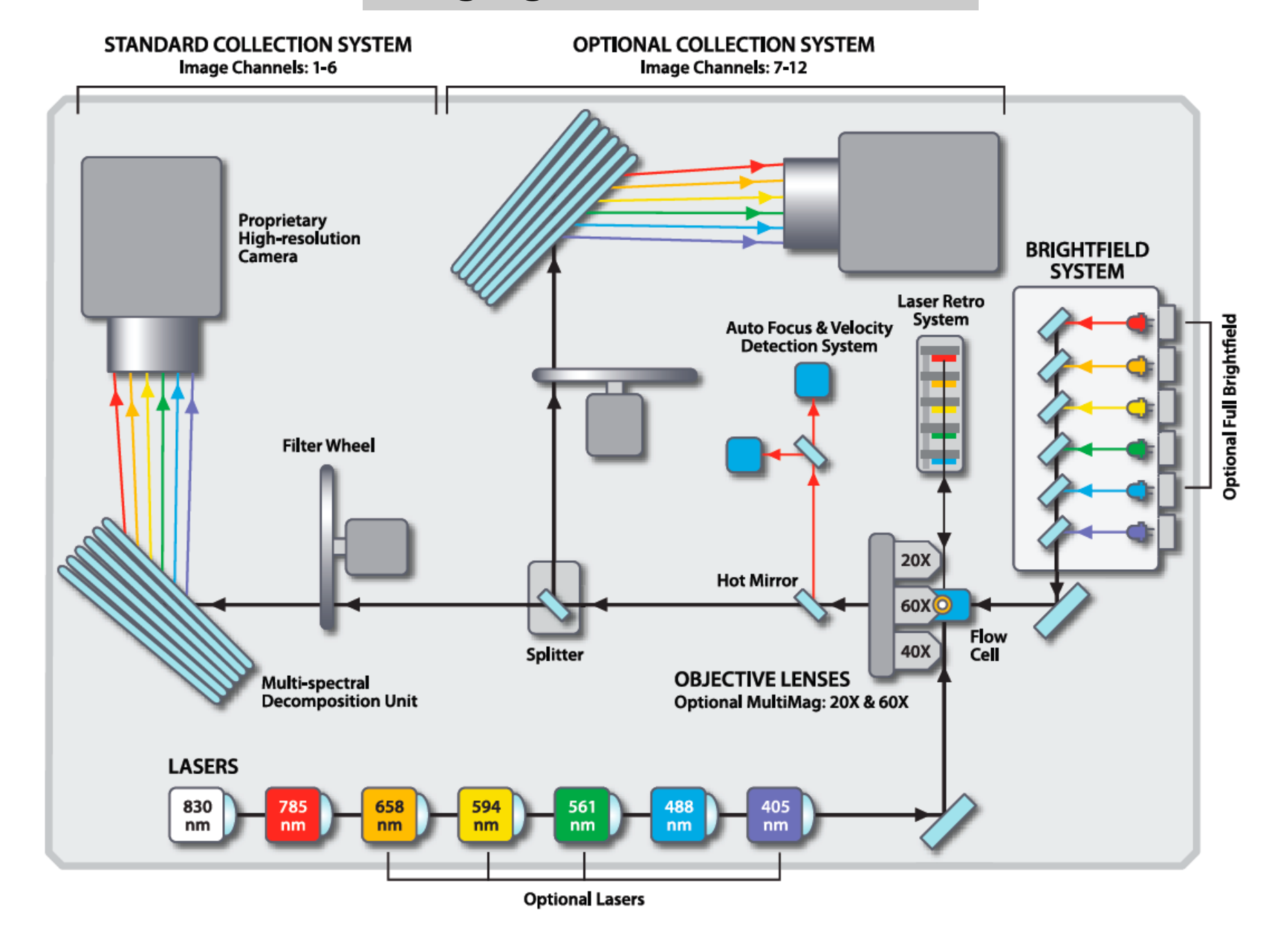


Fluorescent Cell Bar Coding



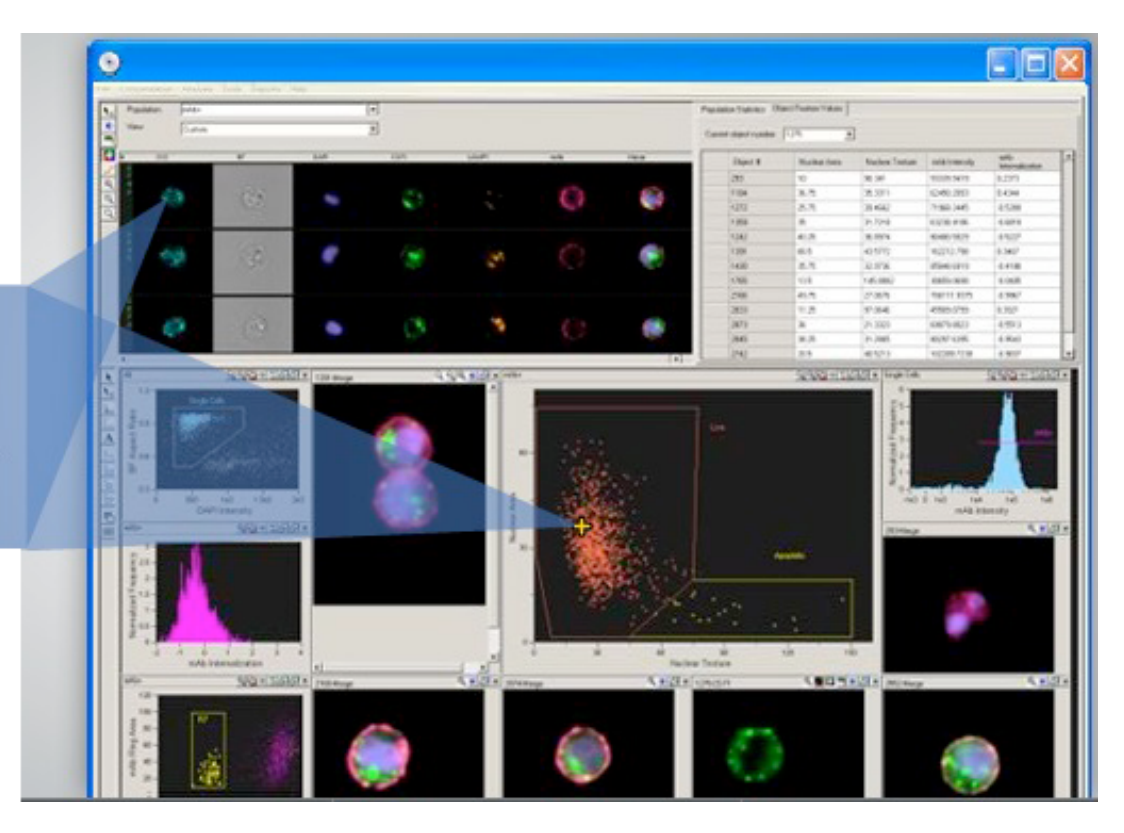
Amnis ImageStream^x





Amnis IDEAS Software

Every dot in a scatter plot is linked to the corresponding cell image. Click on the dot to see the cell, or click on a cell's image to locate it in all scatter plots.

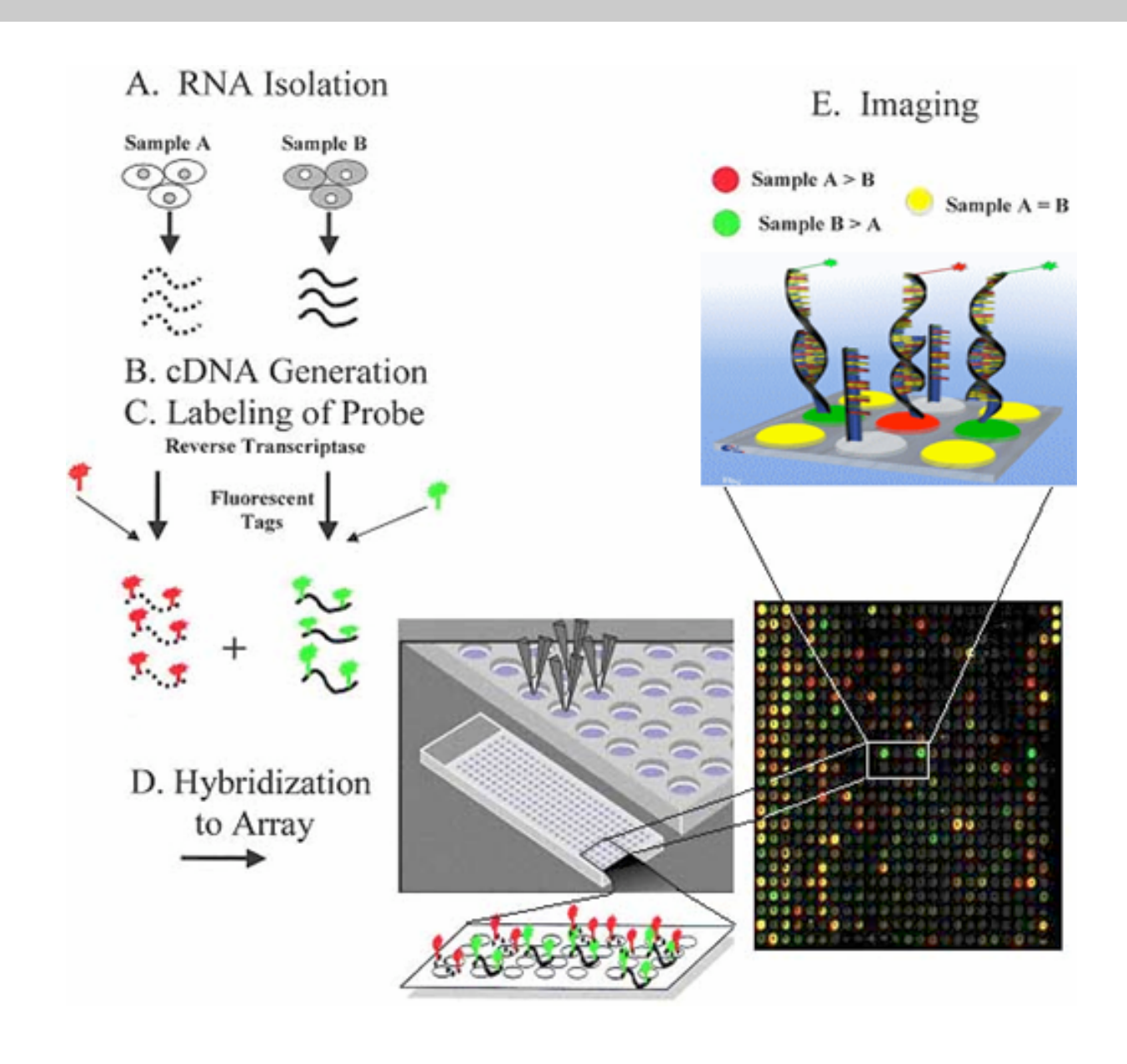


Amnis IDEAS Software

Numerical scores for parameters like size, shape, texture, fluorescence location, co-location and intensity let you quantify visual data.



Les Puces à ADN



Analyse des voies de signalisation

- > Cytométrie / Imagerie
- > Electrophorèse/ Western blot (immunoprécipitations)
- > Protéomique
- ➢ Génomique

Activation / Fonction

Production de cytokines

- > ELISA / RIA
- > ELISPOT
- > Facs intracellulaire

Prolifération/Division cellulaire/Apoptose

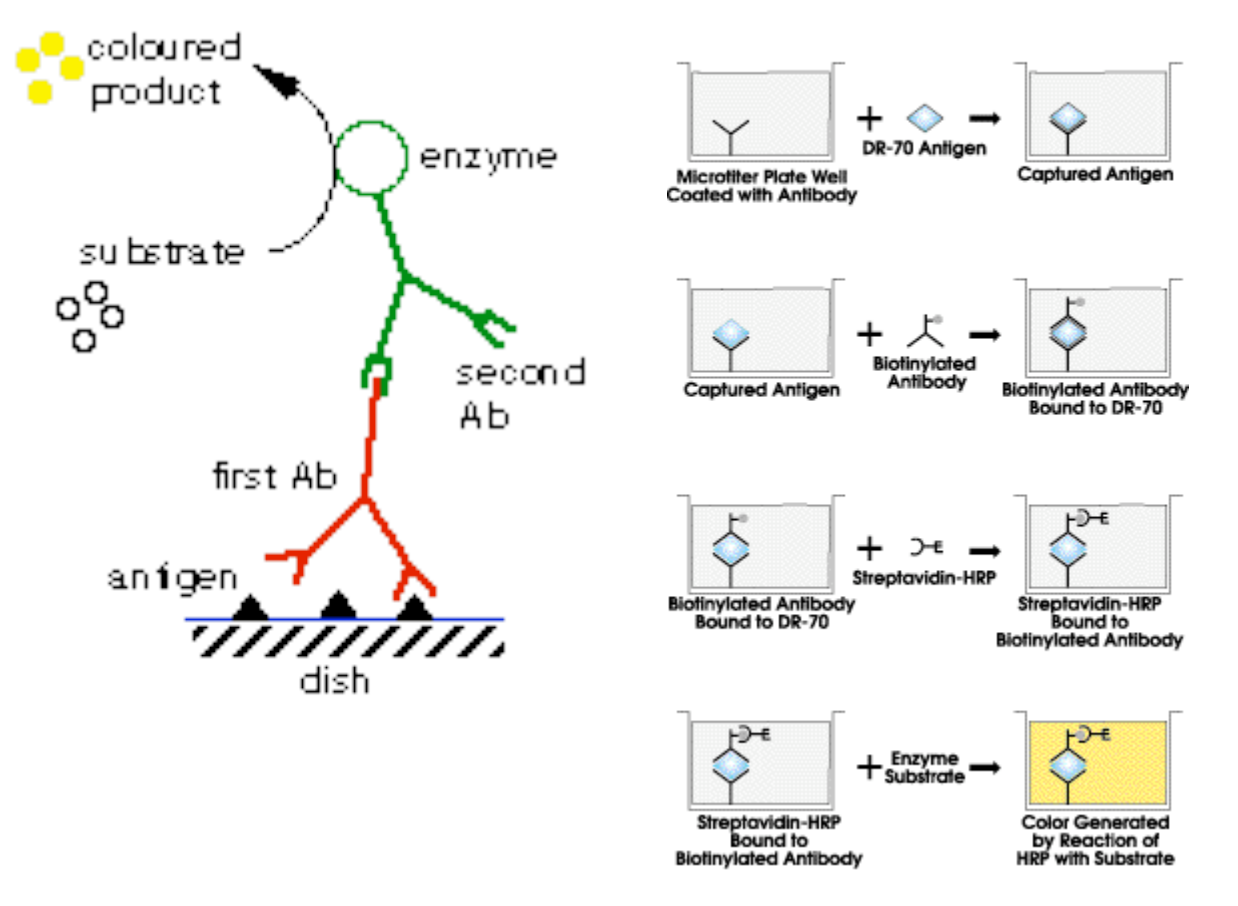
- Cytométrie de flux : BrdU, EdU, CFSE, Annexin V
- ➤ Imagerie : DAPI
- > Thymidine tritiée

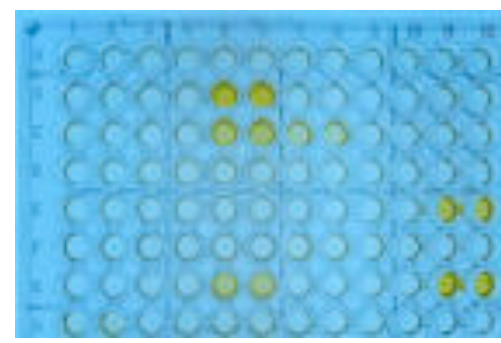
CD3ζ P P P Lck Cbl P Zap-70 CYLD Adaptor proteins (LAT, SLP-76) & second messengers

Fonctions effectrices

- > Cytotoxicité: 51Cr, FACS, LDH
- > Réponse anticorps: ELISPOT B, ELISA immunoglobulines sériques, tests hémaglutination

Elisa: Enzyme-linked immunosorbent assay



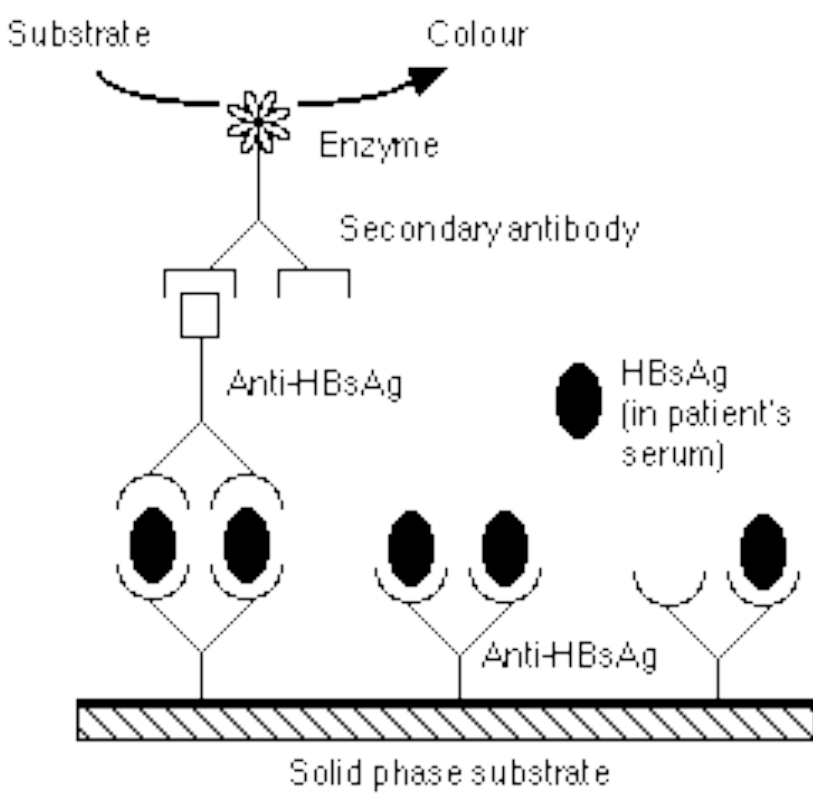


Elisa Sandwich

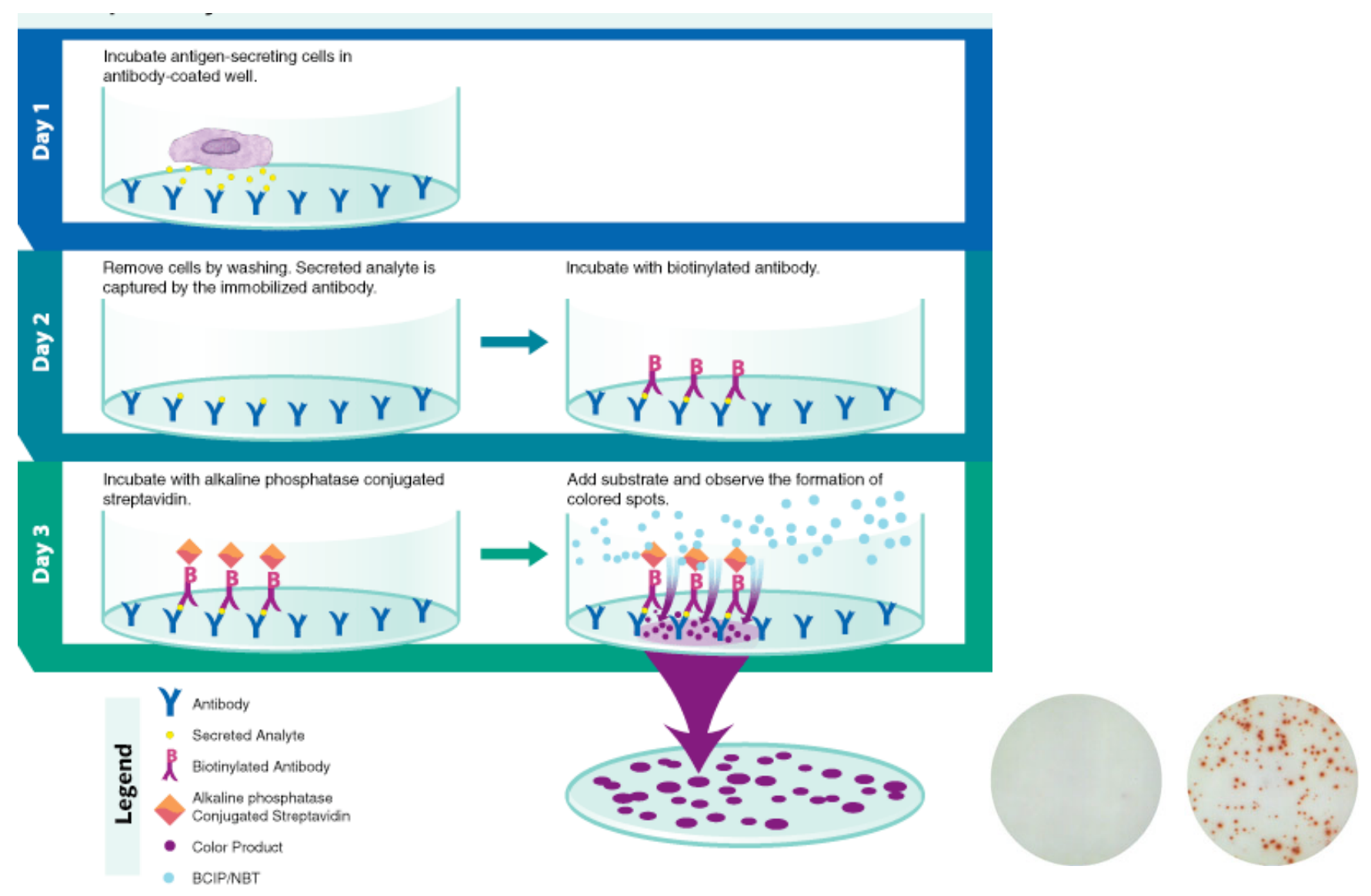
Direct ELISA

Substrate Colour Enzyme Secondaryantibody Antibody in patient's serum Antigens Solid phase substrate

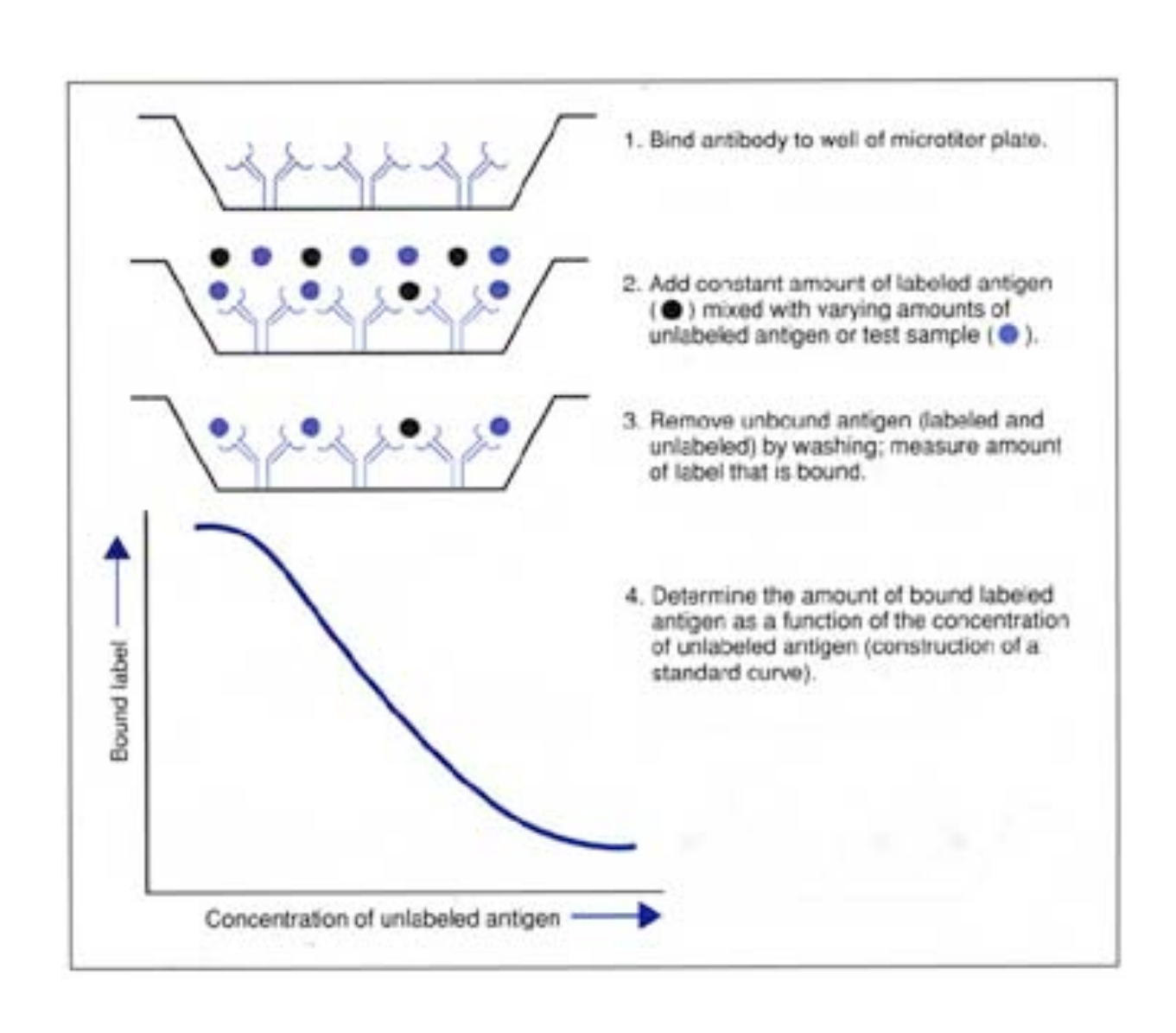
Sandwich ELISA



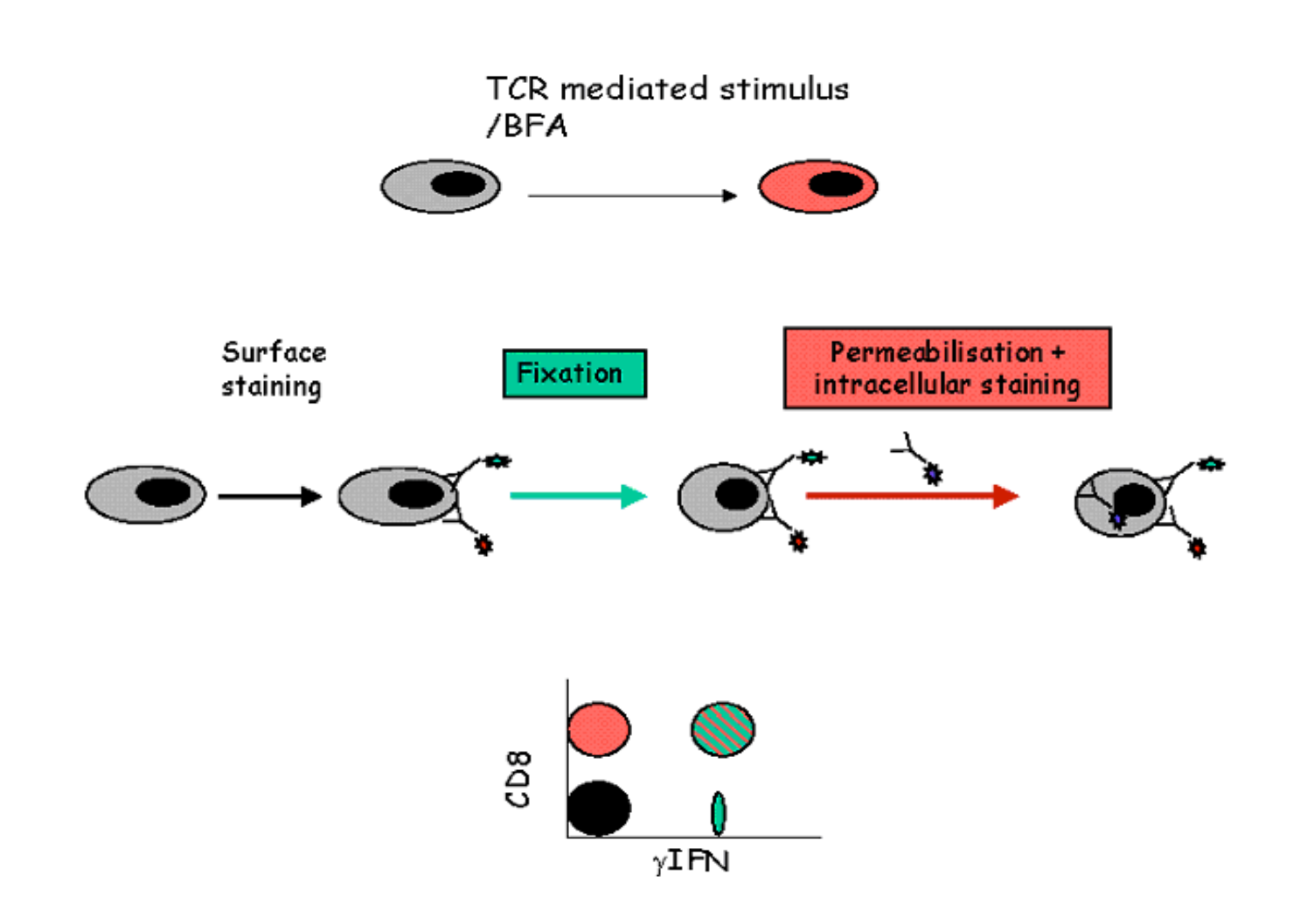
ELISPOT



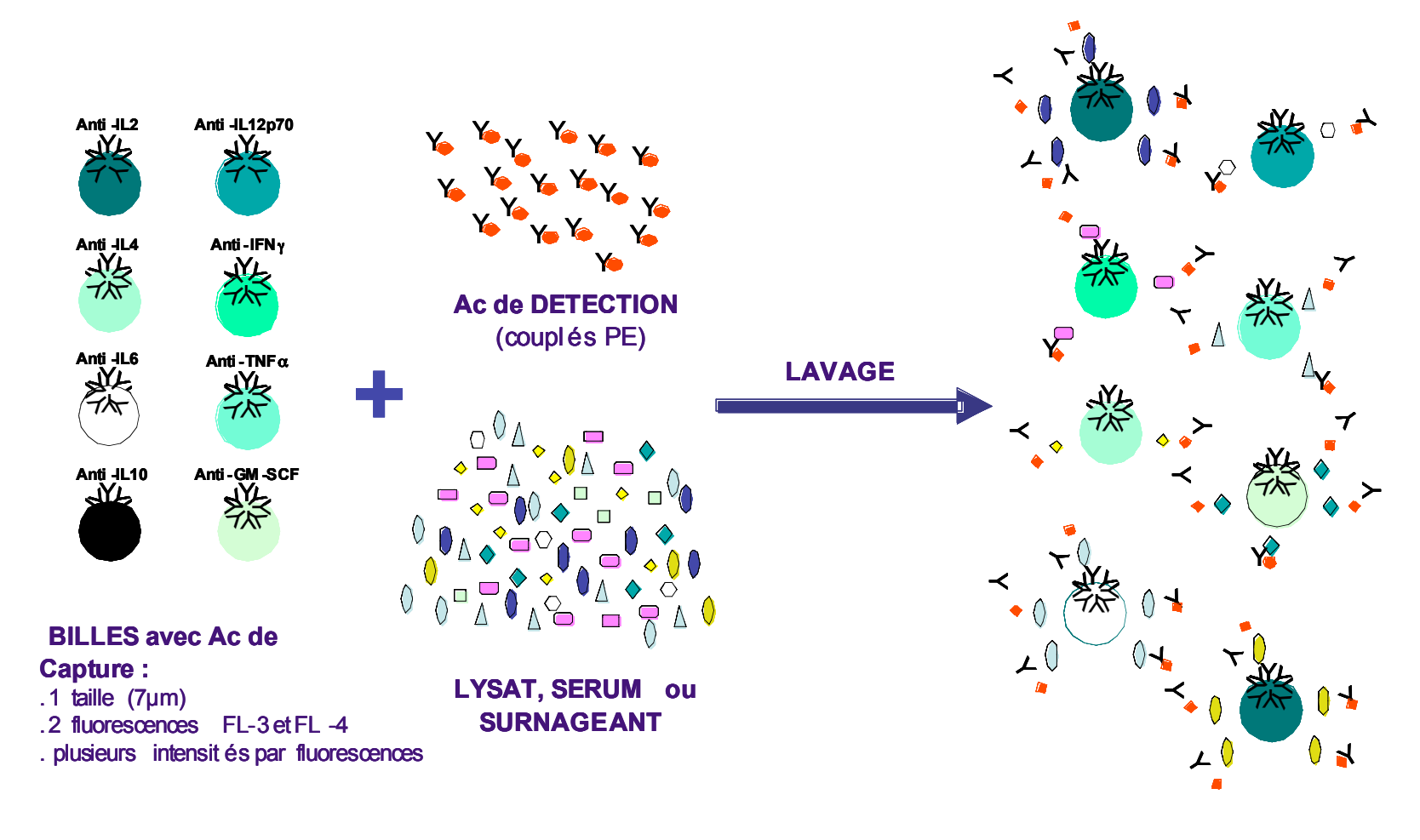
RIA (Radio Immunoassay)



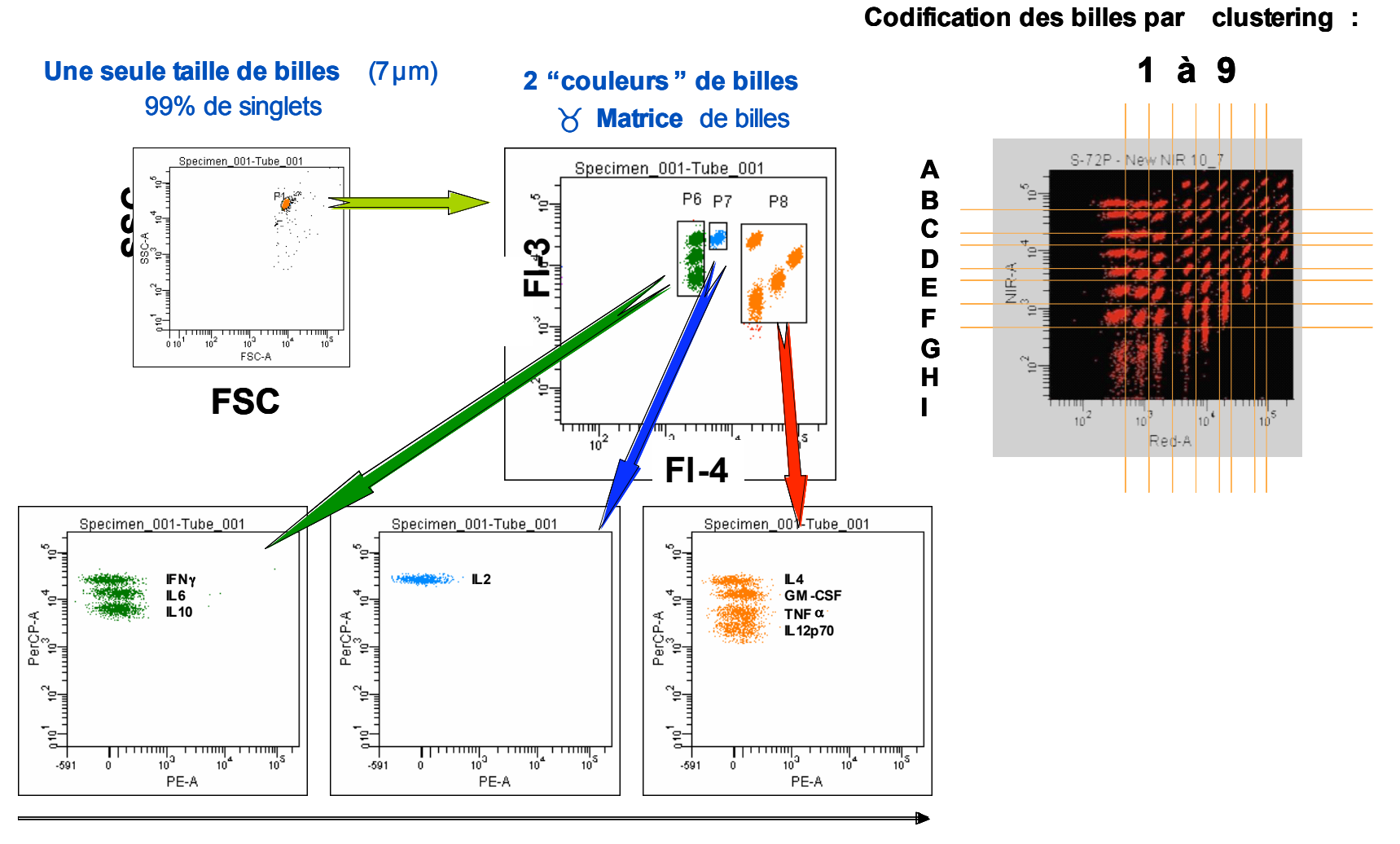
Cytométrie en flux pour la détection de cytokines intracellulaires



Cytométrie en flux pour la détection de cytokines dans le surnageant (Cytometric Beads Array)



Cytométrie en flux pour la détection de cytokines dans le surnageant (Cytometric Beads Array)

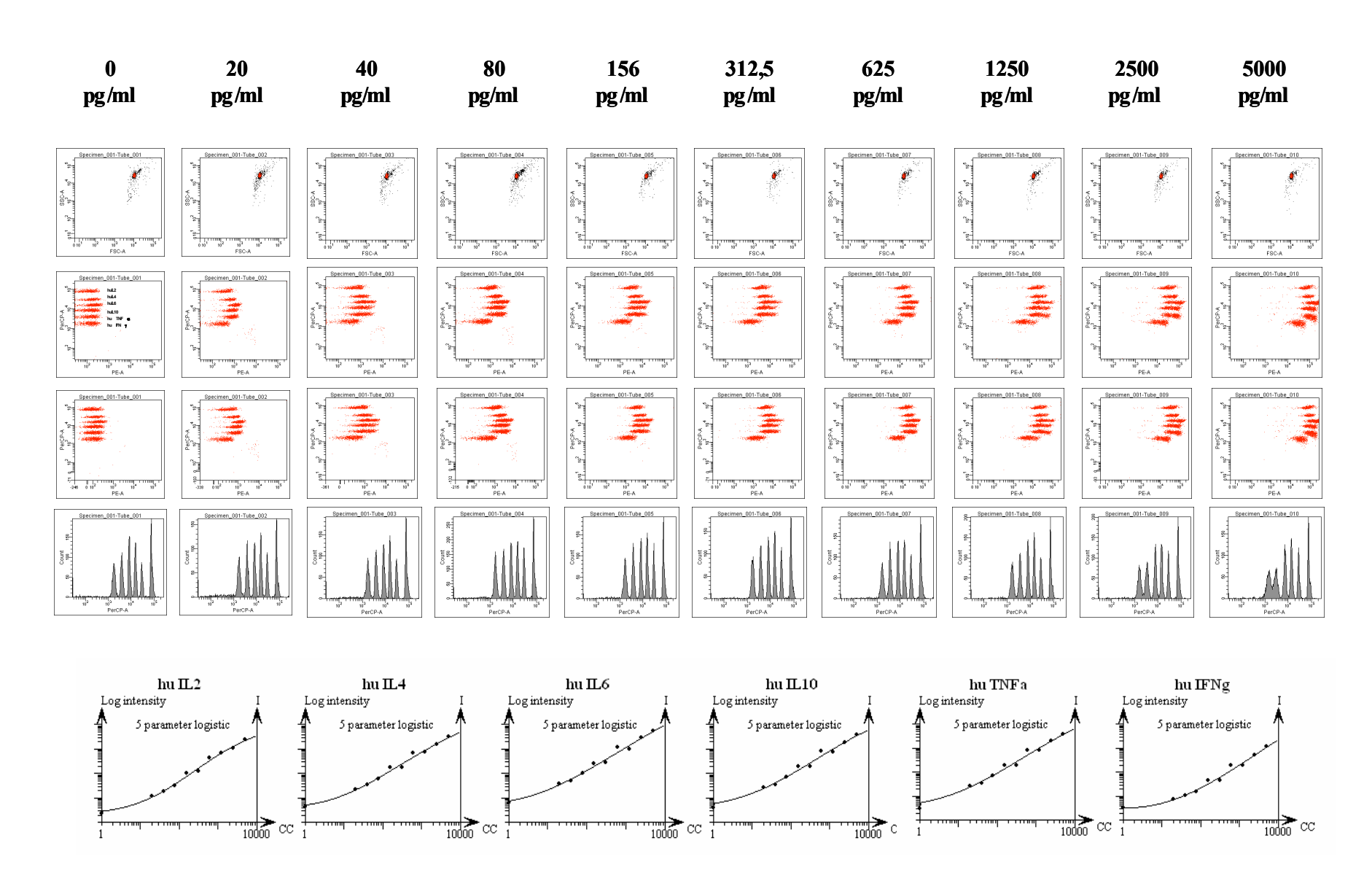


Détection de la positivit é en PE

Cytometric Bead Array (FCAP)

UNIVERSITE

<u>Gammes étalons (cytokines humaines)</u>: IL2, IL4, IL6, IL10, TNF α , IFN γ



Cytométrie en flux pour la détection de cytokines dans le surnageant (Cytometric Beads Array)

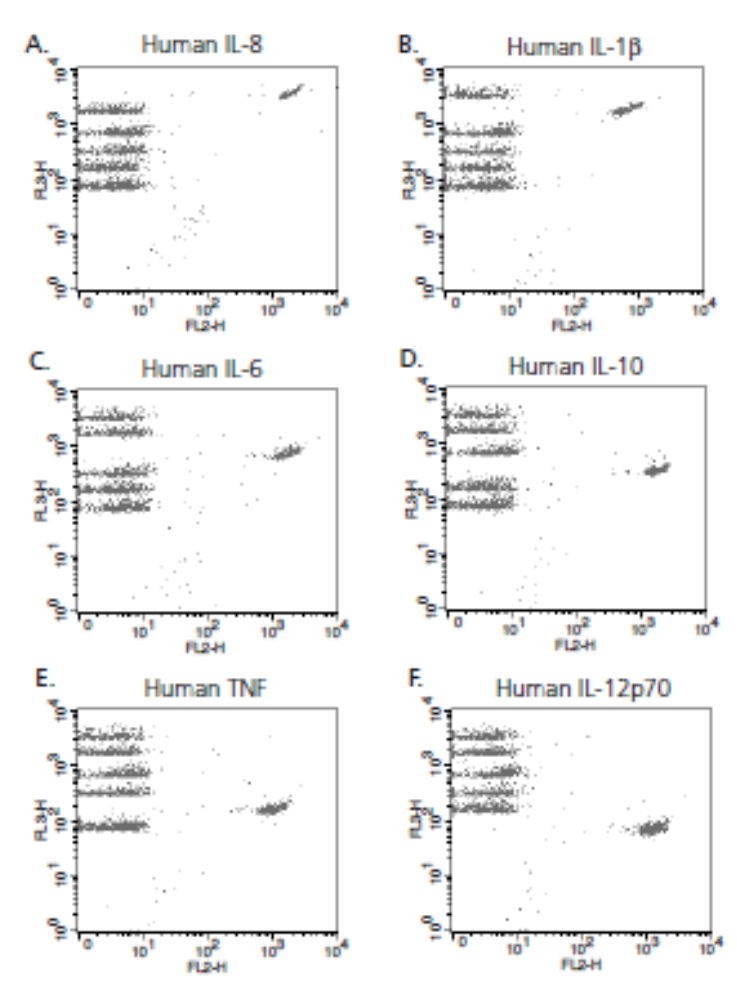


Figure 8. BD CellQuest® Data for Detection of Individual Cytokines

Analyse des voies de signalisation

- > Cytométrie / Imagerie
- ➤ Electrophorèse/ Western blot (immunoprécipitations)
- > Protéomique
- ➤ Génomique

Production de cytokines

- > ELISA / RIA
- > ELISPOT
- > Facs intracellulaire

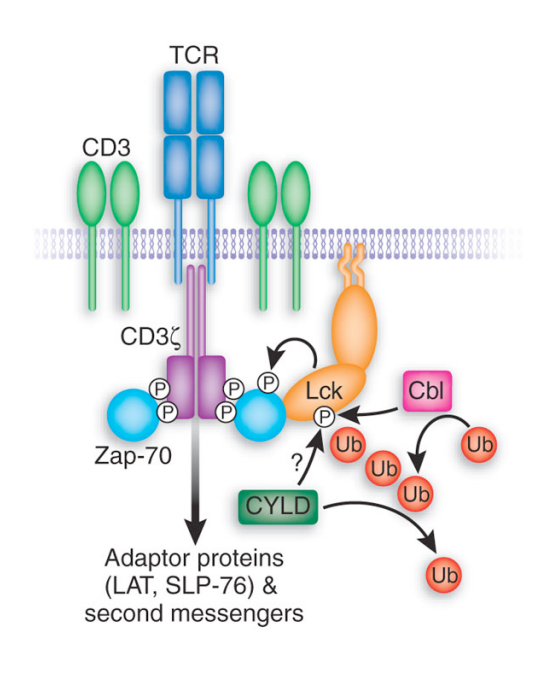
Prolifération/Division cellulaire/Apoptose

- > Cytométrie en flux : BrdU, EdU, CFSE, Annexin V
- > Thymidine tritiée

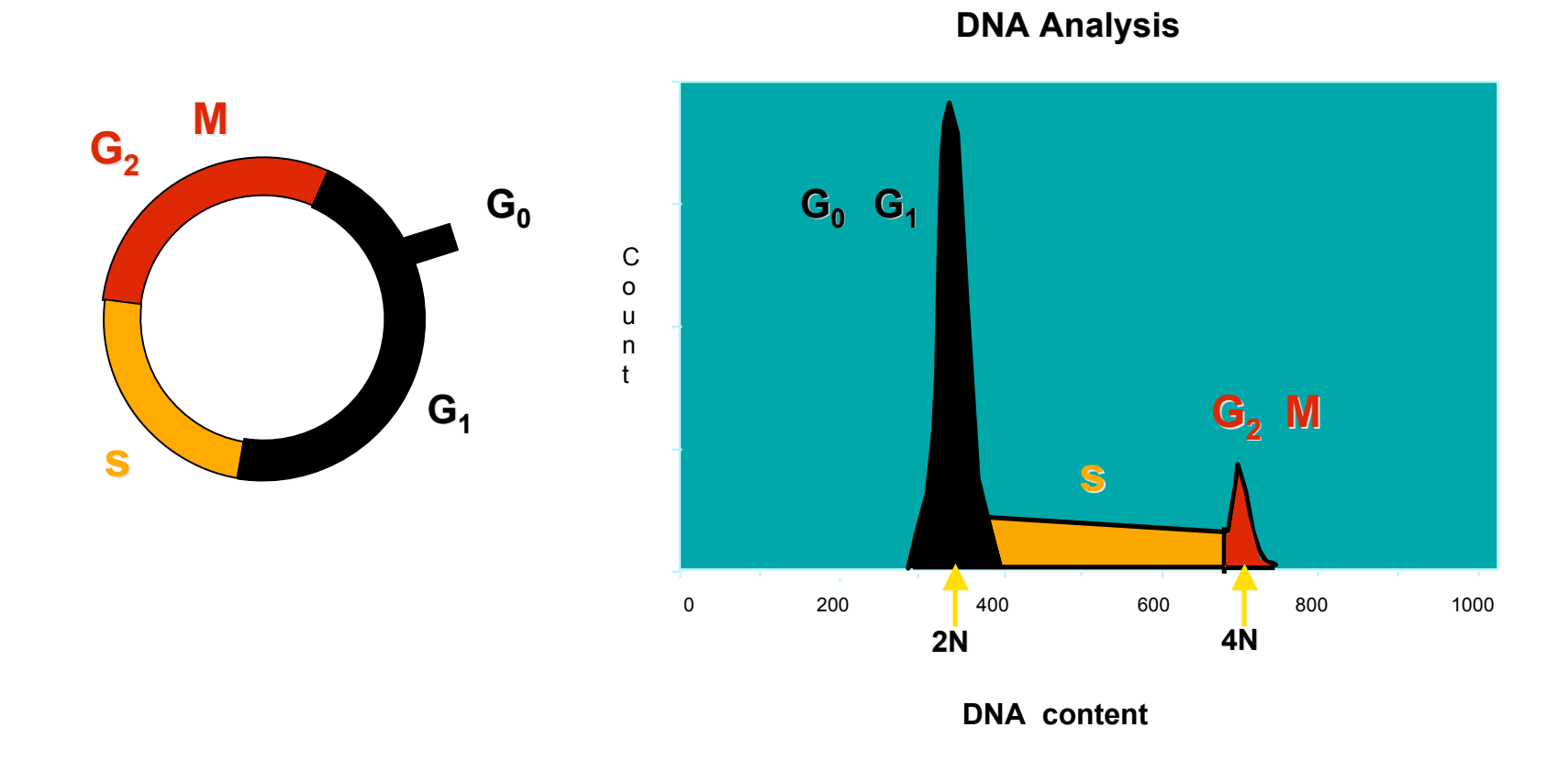
Fonctions effectrices

- > Cytotoxicité: 51Cr
- > Réponse anticorps: ELISPOT B, ELISA immunoglobulines sériques

Activation / Fonction

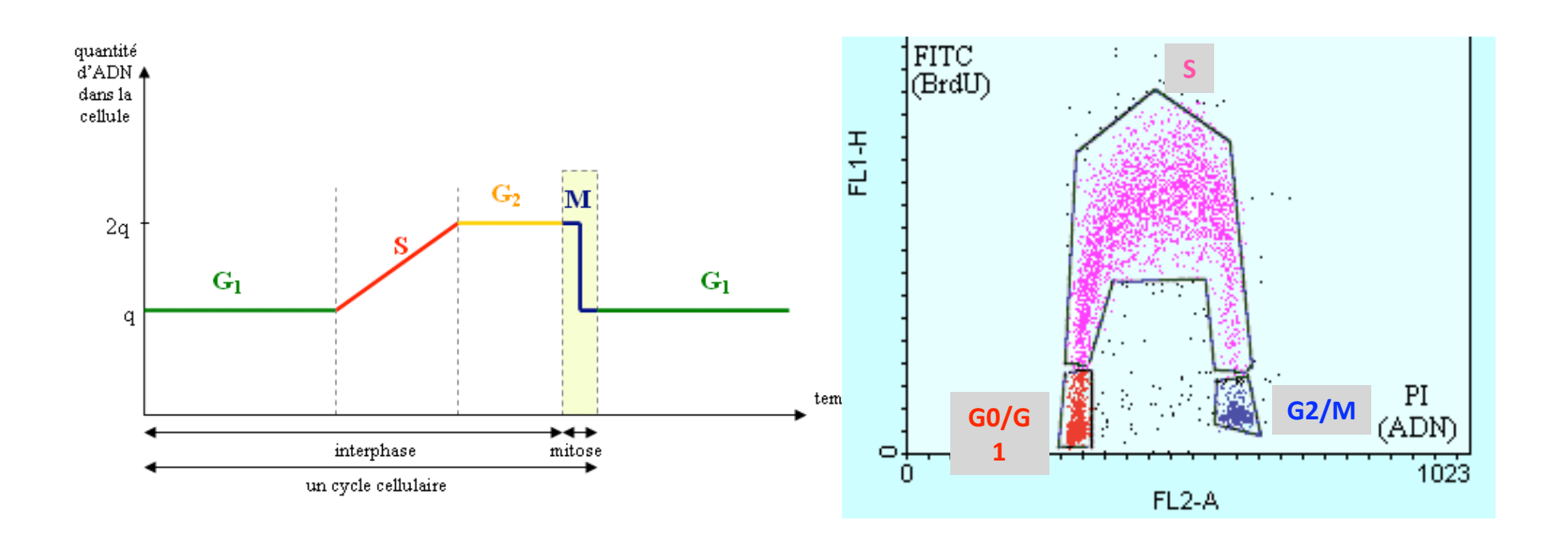


Etude du cycle cellulaire lodure de propidium ou Hoestch 33342



Détection des acides nucléiques et analyse du cycle cellulaire

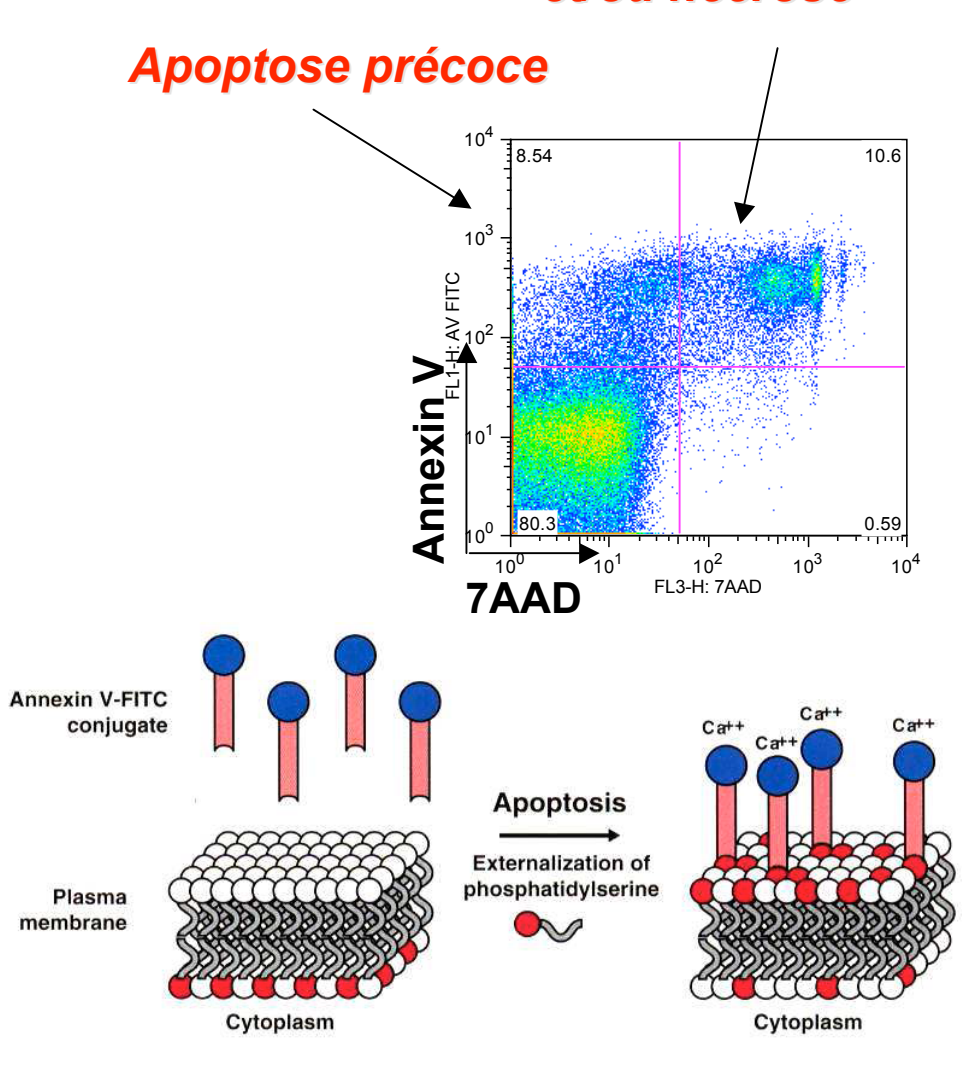
- lodure de propidium : agent intercalent fluorescent de l'ADN (ex: 305 nm ou 538 nm/ em: 617 nm)
- DAPI (4',6' Di Amidino-2-Phényl Indole) : liaison a l'ADN
- BrdU analogue du la thymidine, s'incorpore dans les cellules en division



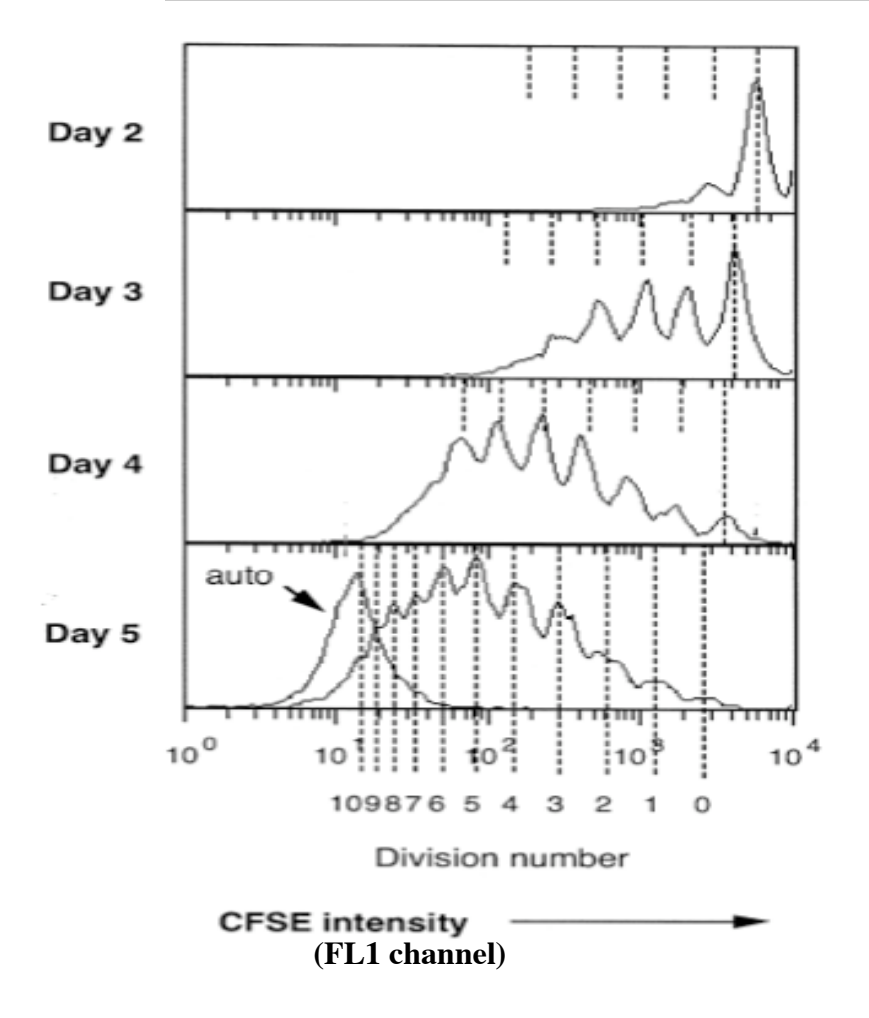
Analyse de la viabilité / apoptose/ nécrose

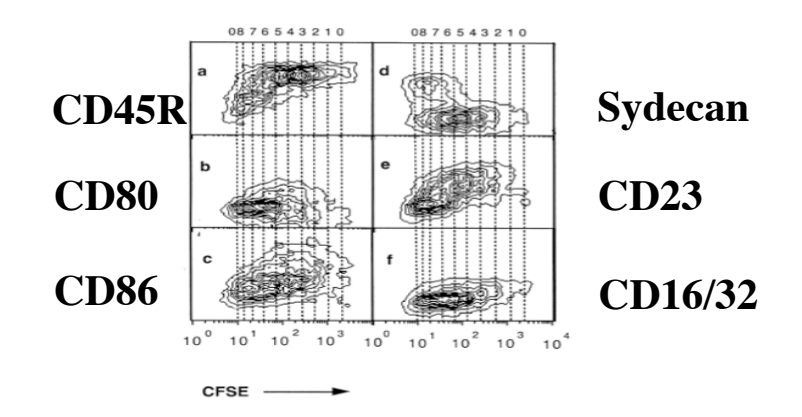
- lodure de propidium : agent intercalent fluorescent de l'ADN, marque le noyau des cellules ayant perdu leur intégrité membranaire (nécrose)
- Annevin V : protéine cellulaire conjuguée à un fluorochrome, marque les phosphatidyl serine (PS) transloquées à la mb lors des événement précoce de l'apoptose
- 7-AAD (7-Amino-actinomycin D) agent intercalent fluorescent de l'ADN, pénètre la membrane de cellules mortes ou mourantes.
- Hoechst, agent intercalant fluorescent de l'ADN pénètre la membrane de cellules mortes ou mourantes
- Tunel (Terminal deoxynucleotidyl Transferase Biotin-dUTP Nick End Labeling): ADN fragmenté, détecté par réaction de la TdT (terminal deoxynucleotidyl transferase) pour transférer des biotin-dUTP à l'ADN clivé

Apoptose tardive et/ou nécrose



Etude de la prolifération CFSE ou CFDA-SE Carboxyfluorescein diacetate, succinimidyl ester

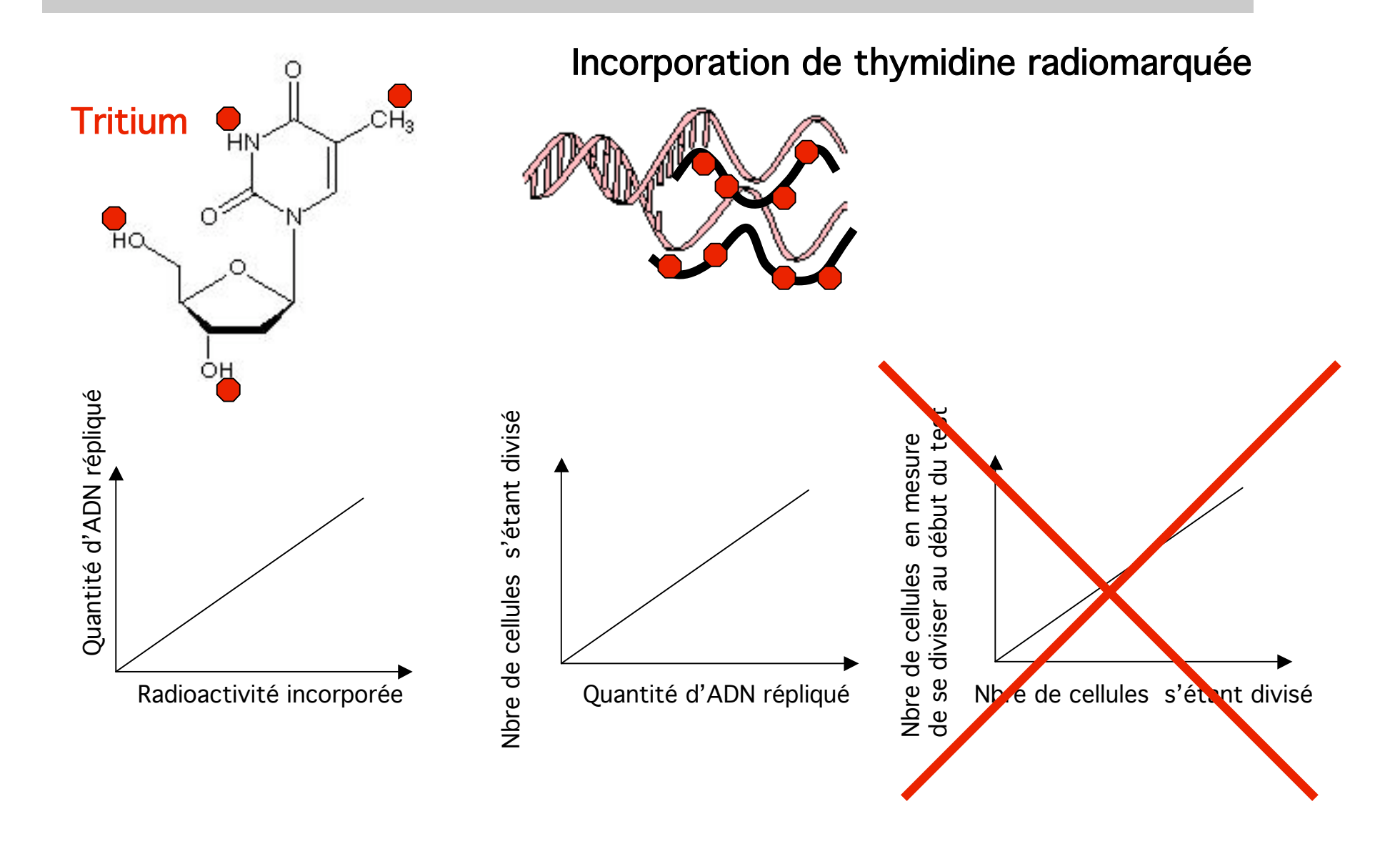




Le CFSE devient fluorescent après diffusion dans la cellule où les esterases endogènes libèrent les groupements acétate. Il devient alors fluorescent et ne diffuse plus à travers la membrane. A chaque division cellulaire, le CFSE se répartit équitablement entre les cellules filles, jusqu'à 10 générations discriminables

Infos sur la cinétique de prolifération et de différenciation cellulaire

Analyse de la prolifération cellulaire : thymidine tritiée



Analyse des voies de signalisation

- > Cytométrie / Imagerie
- ➤ Electrophorèse/ Western blot (immunoprécipitations)
- > Protéomique
- ➤ Génomique

Production de cytokines

- > ELISA / RIA
- > ELISPOT
- > Facs intracellulaire

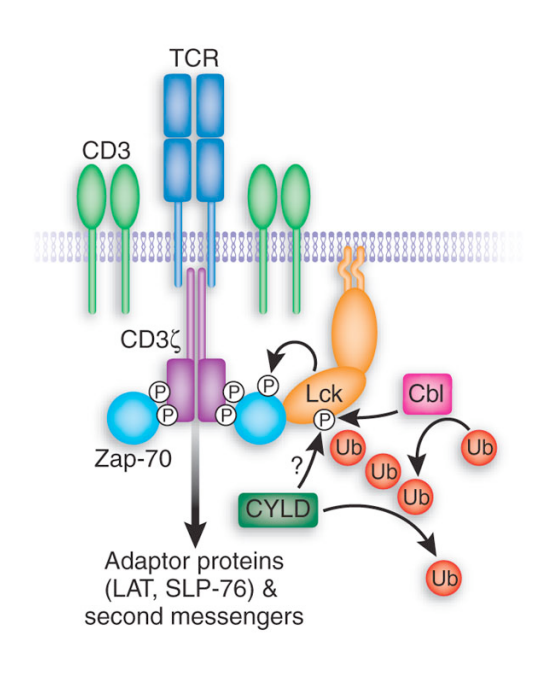
Prolifération/Division cellulaire/Apoptose

- Cytométrie en flux : BrdU, EdU, CFSE, Annexin V
- > Thymidine tritiée

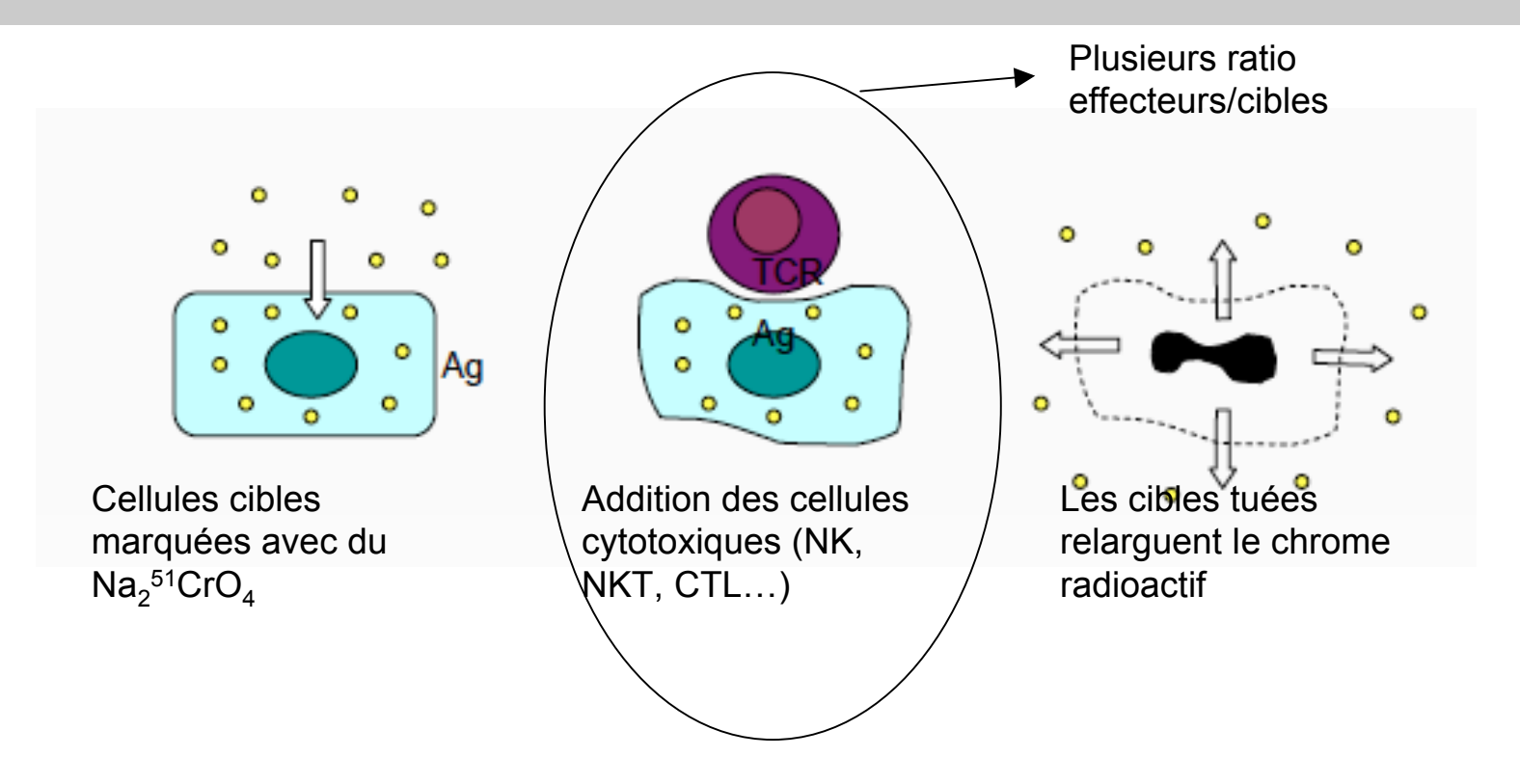
Fonctions effectrices

- > Cytotoxicité
- > Réponse anticorps: ELISPOT B, ELISA immunoglobulines sériques

Activation / Fonction



Analyse de la cytotoxicité



Autres techniques de l'analyse de la cytotoxicité:

- Cytométrie en flux: CD107 / Granzyme / Perforine / marquage cellules cible au CFSE + AV + 7AAD
- ELISPOT: Perforine / Granzyme



Contexte physiopathologique

Modèles de souris

- > Les lignées de souris consanguines
- > Les souris immunodéficientes
- > Les transferts adoptifs
- > Les souris humanisées
- > Les souris transgéniques
- > Les souris « knock-out »

Les lignées de souris consanguines

- ➤ Obtenues par > 20 croisements frère-sœur (croisements consanguins)
- ➤ Le génome devient peu à peu entièrement homozygote
- Populations génétiquement homogènes et (assez) stables dans le temps
- ➤ Tous les individus sont identiques (un couple suffit à définir la lignée)
- ➤ Pas de variance phénotypique entre individus d'origine génétique (important pour la mise en évidence de l'effet d'un traitement)
- Plusieurs centaines de lignées consanguines disponibles
- Certaines lignées de souris consanguines ont des propriétés particulières (exemple les souris NOD)

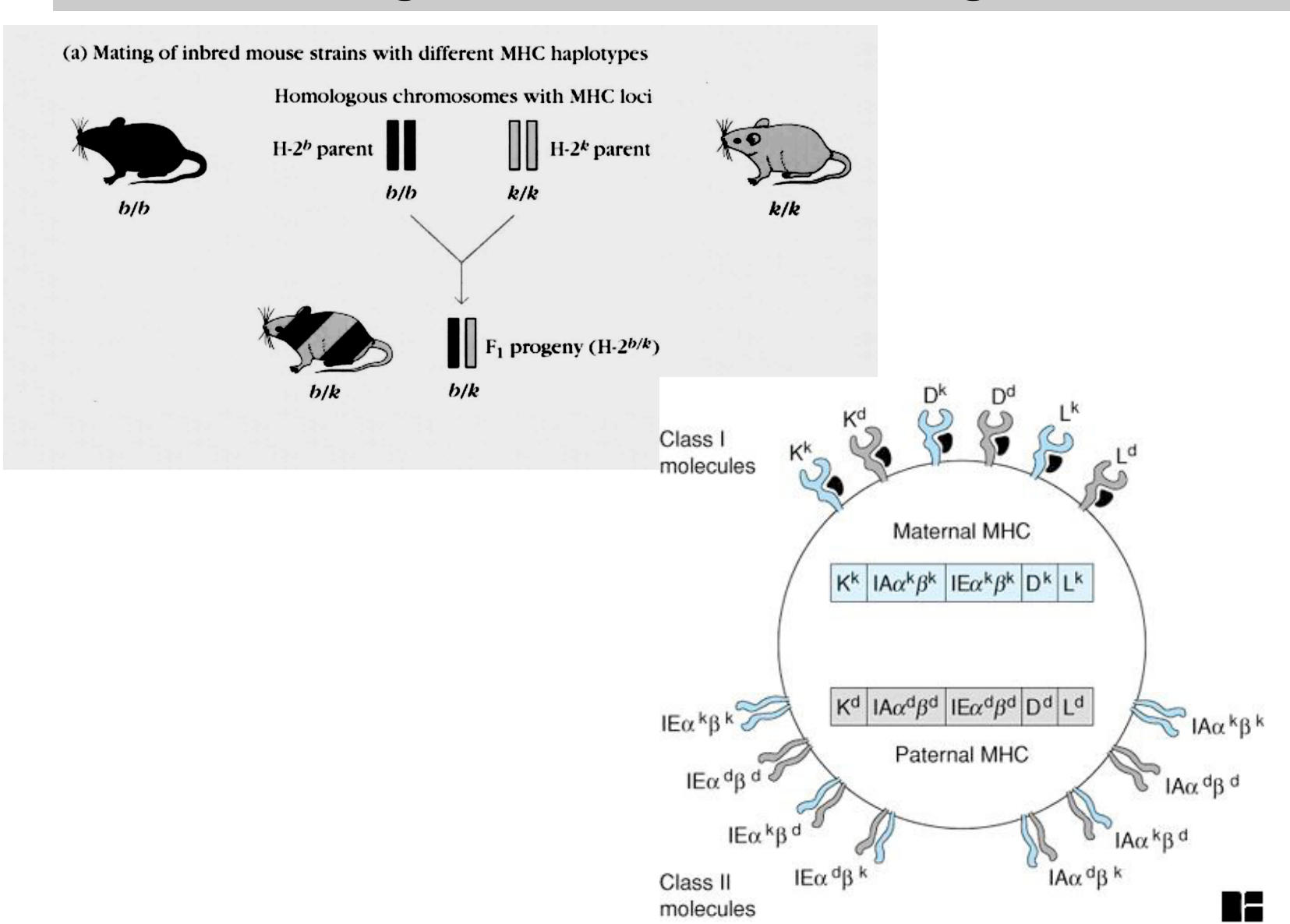
Les lignées de souris consanguines

Mouse H-2 complex

Complex	H-2							
MHC class	I	I	I	III		III I		I
Region	К	IA	IE	s		D		
Gene products	H-2K	ΙΑ αβ	ΙΕ αβ	C' proteins	TNF-α TNF-β	H-2D	H-2L	

		_	Allèles H-2			
Souche protoype	Autres souches avec le même haplotype	Haplotype	K	IA	IE	D
CBA	AKR, C3H, B10.BR, C57BR	k	k	k	k	k
DBA/2	BALB/c, NZB, SEA, YBR	d	d	d	d	d
C57BL/10 (B10)	C57BL/6, C57L, C3H.SW, LP, 129	b	b	b	b	b
Α	A/He, A/Sn, A/Wy, B10.A	а	k	k	k	d
A.SW	B10.S, SJL	S	S	S	S	S
A.TL		tl	S	k	k	d
DBA/1	STOLI, B10.Q, BDP	q	q	q	q	q

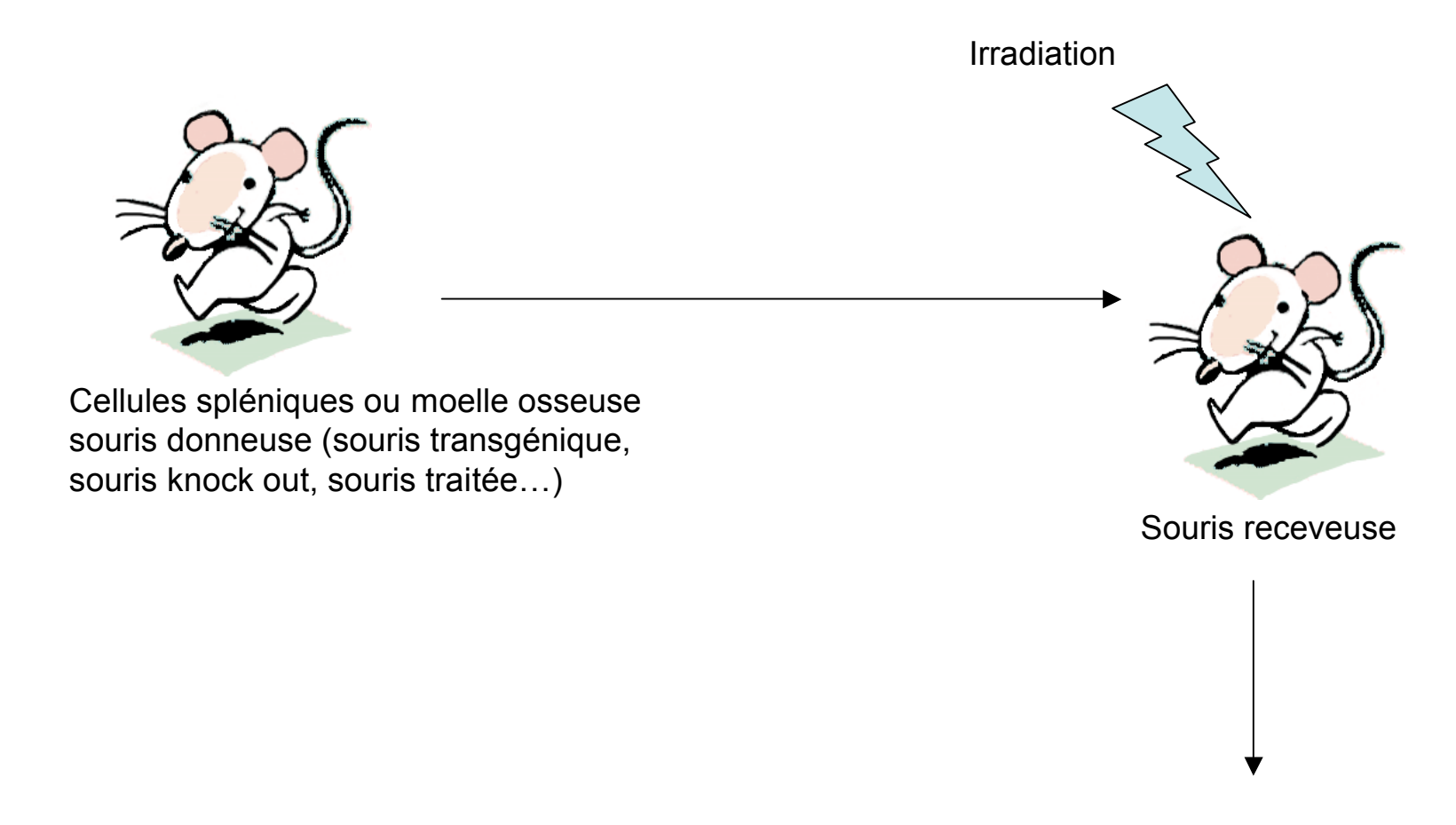
Les lignées de souris consanguines



Les lignées de souris immunodéficientes

- Souris Nude: absence de thymus, absence de LT thymodépendants
- Souris SCID (« Severe Combined Immunodeficiency »): absence de LT et LB matures
- Souris NOD: diabète, anomalie IFN, anomalie activité NK
- Souris Beige (bg): anomalie des macrophages et neutrophiles, anomalie NK et CTL
- Souris RAG-/-: absence de LT et LB matures
- Souris NOD-SCID-IL2Rγ-/-: absence LB, LT, NK

Les transferts adoptifs

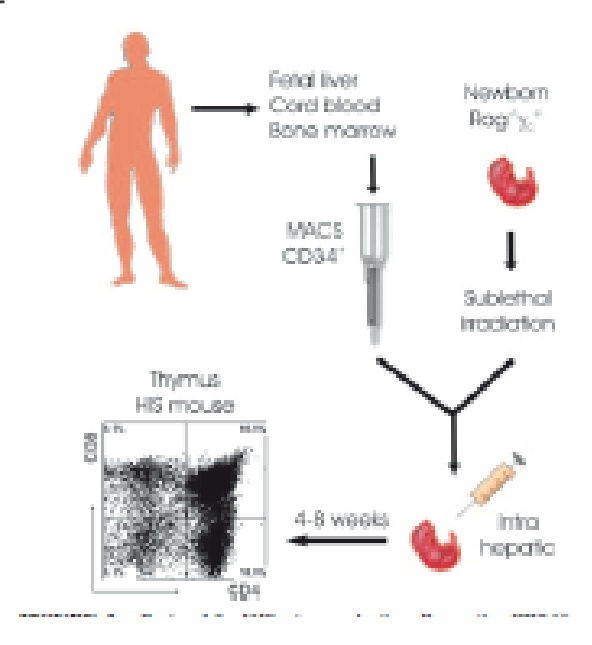


Analyse de la réponse immunitaire, des fonctions des cellules transférées...

Les souris humanisées

Table 2: Defining Characteristics of Humanized Mouse Models

Model	Human Cells Engrafted	Irradiation	Demonstrated Human Cells	Humanized Tissues	Length of Detection	
SCID-hu Thy/Liv	Fetal thymus and liver	No	D4/CD8 DP, SP, DN, T cells in peripheral blood	Peripheral blood, fused thy/liv organ	6 to ≥ 12 months	
hu-PBL SCID	IP PBMCs	No	CD4/CD8 SP T cells, CD3+ T cells, monocytes, NK cells, and B cells	Lymph nodes, spleen, liver, bone marrow	6 months	
NOD SCID BLT	Fetal thymus and liver, fetal liver tissue-derived CD34+ stem cells	Yes	Mature T and B lymphocytes, monocytes, macrophages, and dendritic cells	Peripheral blood, liver, lung, vagina, rectum, and GALT	22 weeks	
NOD SCID IL2r y- ^L	CD34+ human cord blood	Yes/No	Myelomonocytes, dendritic cells, erythrocytes, platelets, and lymphocytes	Peripheral blood, spleen, and bone marrow	> 300 days	
Rag2-1-yc-1-	CD34+ human cord blood	Yes	Dendritic, T, and B cells	Peripheral blood, liver, spleen, bone marrow, vagina, GALT	190 days	
NOD SCID β2m	Transformed HTLV-I cell lines, PBMCs from HTLV-I infected patients	Yes/No	CD45+, CD3+, T cells	Peripheral blood, spleen, lymph node, bone marrow	4 to 12 weeks	
NOD SCID IL2ry null ("NOG")	Transformed HTLV-I cell lines, PBMCs from HTLV-I infected patients	No	CD4+, CD8+ T cells	Liver, spleen, lung, kidney	N/A	

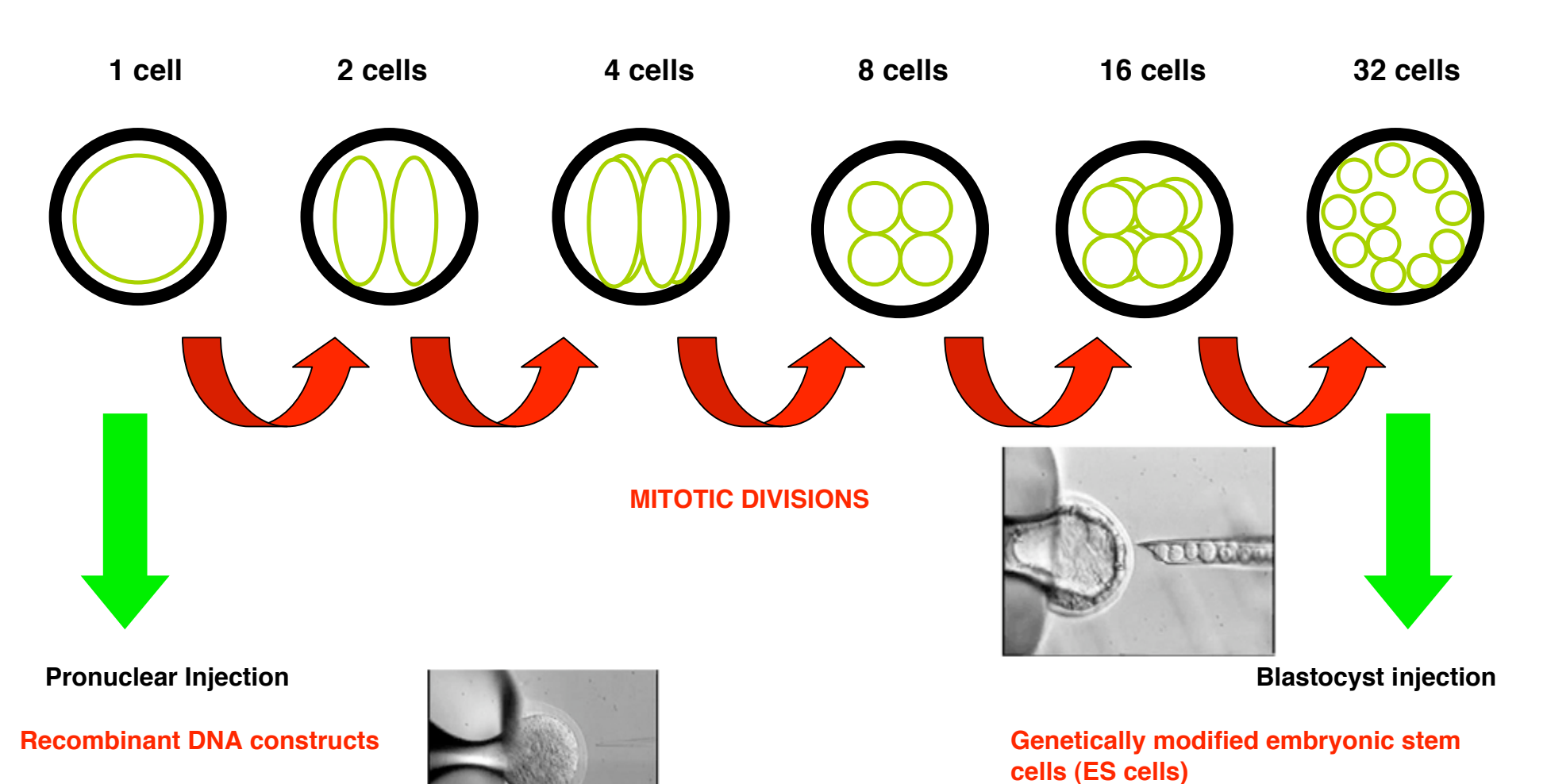


Les souris transgéniques

- Animaux chez lesquels une partie de l'ADN a été modifié physiquement (pas par élevage)
- Le génome de toutes les cellules de l'organisme est modifié
- L'ADN germinal est également modifié: il est transmis à la progénie selon les lois de Mendel

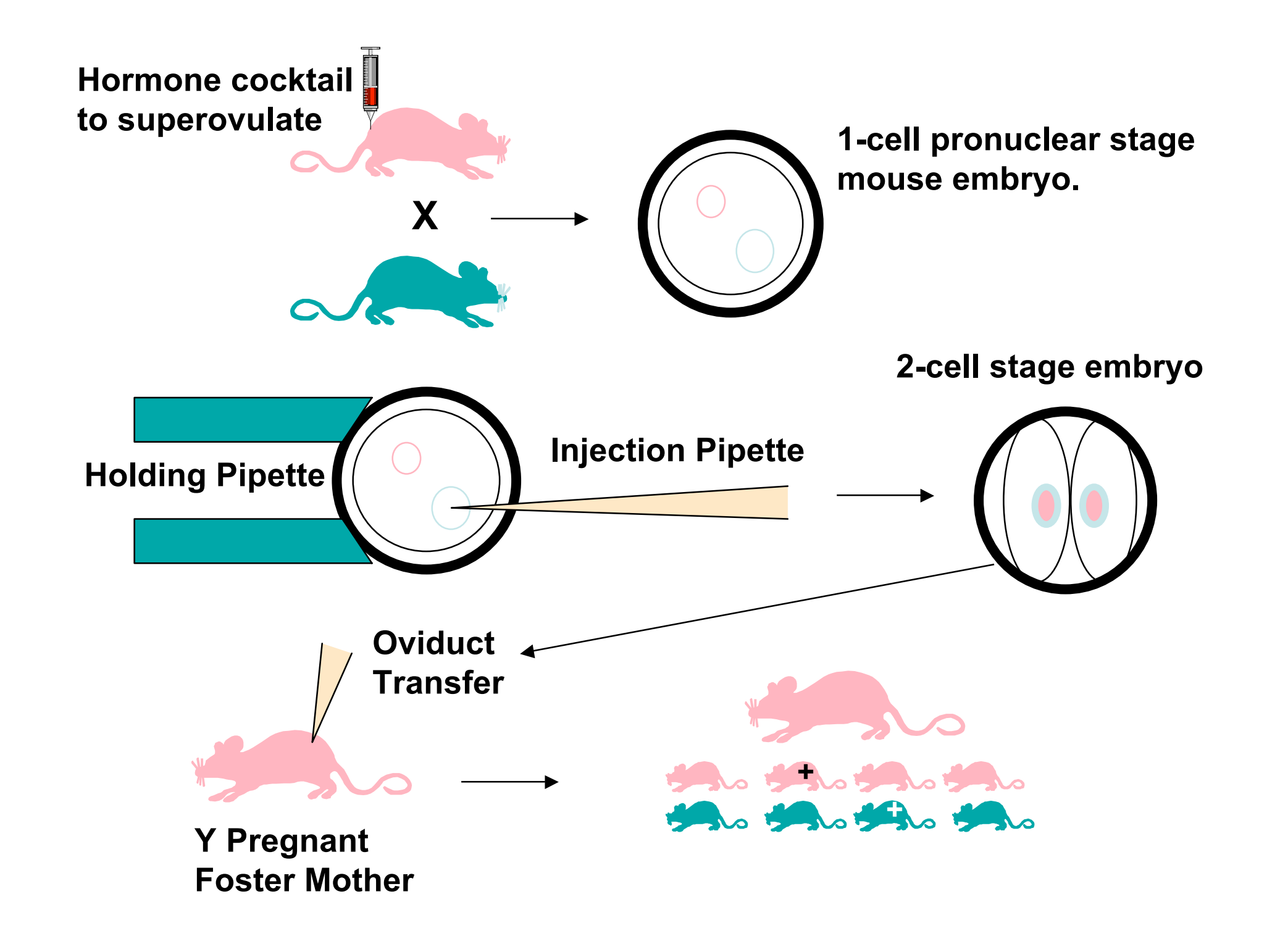
Les souris transgéniques

Pre-implantation

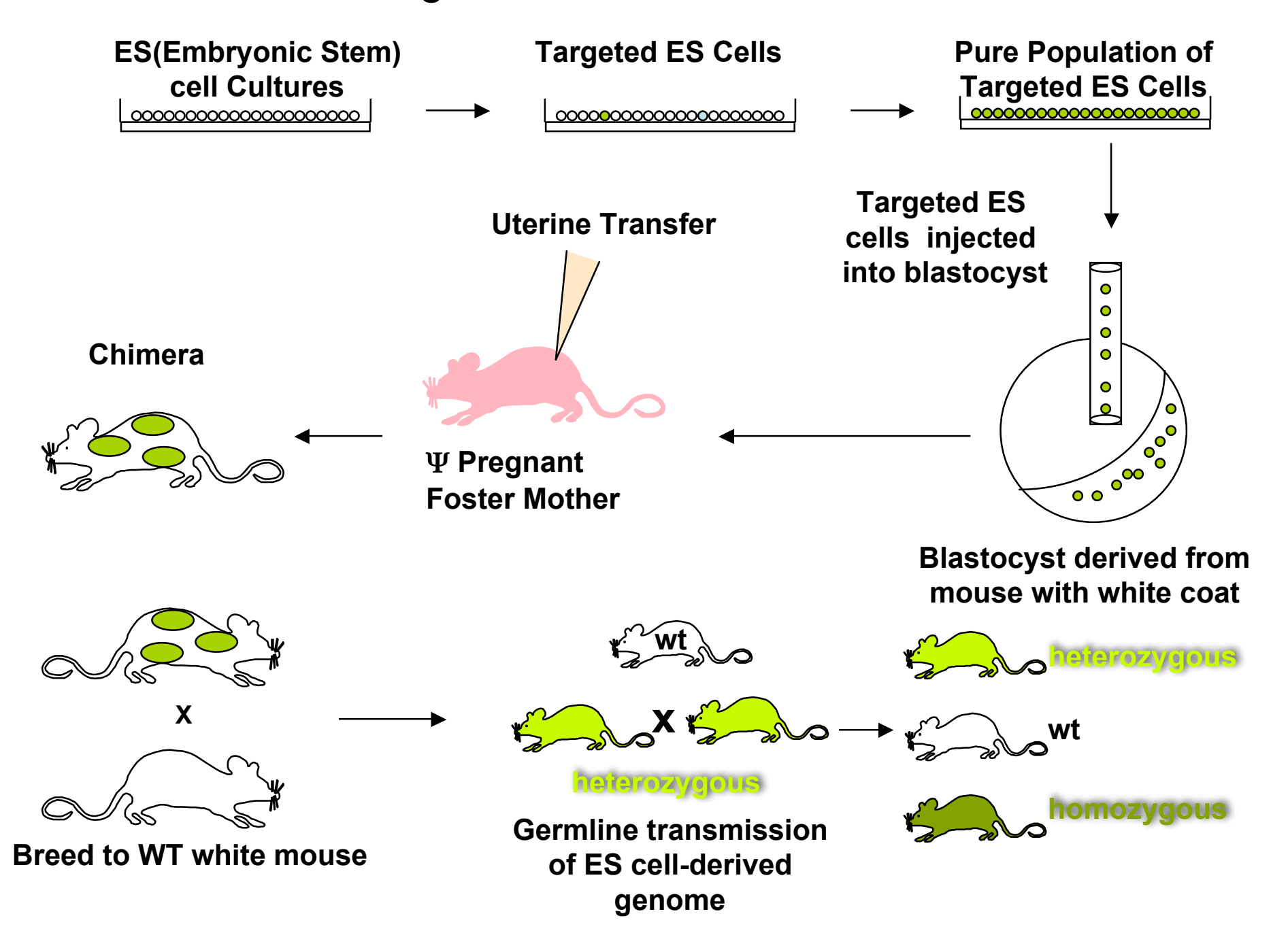


Injection dans le pronucleus

- Utilisée pour ajouter un nouvel ADN
- Pas de contrôle du site d'insertion ni du nb de copies insérées
- Suffisament efficace pour être utilisée sur les embryons
- Peut être réalisée dans n'importe quelle espèce mammifère



Homologous Recombination in ES Cells



Les souris « Knock out »

Gene knockout by homologous recombination using an "W" or "Replacement" type construct

